



ใบรับรองวิทยานิพนธ์  
บัณฑิตวิทยาลัย มหาวิทยาลัยเกษตรศาสตร์

วิทยาศาสตร์มหาบัณฑิต (รังสีประยุกต์และไอโซโทป)

ปริญญา

รังสีประยุกต์และไอโซโทป

รังสีประยุกต์และไอโซโทป

สาขา

ภาควิชา

เรื่อง การวัดและประเมินค่าการกระเจิงของระดับรังสีแกมมาอ้างอิงใน  
ห้องปฏิบัติการวัดรังสีมาตรฐานทุติยภูมิ ด้วยระบบวัดแบบอิมเมจิงเพลต

Measuring and Assessment of Reference Gamma Scattering in  
Secondary Standard Dosimetry Laboratory (SSDL) with Imaging Plate Detection System

นามผู้วิจัย นางสาวอังศุมาลิน อินแดง

ได้พิจารณาเห็นชอบโดย

อาจารย์ที่ปรึกษาวิทยานิพนธ์หลัก

( ผู้ช่วยศาสตราจารย์วันวิสา สุดประเสริฐ, Ph.D. )

หัวหน้าภาควิชา

( ผู้ช่วยศาสตราจารย์วันวิสา สุดประเสริฐ, Ph.D. )

บัณฑิตวิทยาลัย มหาวิทยาลัยเกษตรศาสตร์รับรองแล้ว

( รองศาสตราจารย์กัญญา ชีระกุล, D.Agr. )

คณบดีบัณฑิตวิทยาลัย

วันที่ ..... เดือน ..... พ.ศ. ....

ลิขสิทธิ์ มหาวิทยาลัยเกษตรศาสตร์

วิทยานิพนธ์

เรื่อง

การวัดและประเมินค่าการกระเจิงของระดับรังสีแกมมาอ้างอิง  
ในห้องปฏิบัติการวัดรังสีมาตรฐานทุติยภูมิ ด้วยระบบวัดแบบอิมเมจิงเพลต

Measuring and Assessment of Reference Gamma Scattering in  
Secondary Standard Dosimetry Laboratory (SSDL) with Imaging Plate Detection System

โดย

นางสาวอังศุมาลิน อินแดง

เสนอ

บัณฑิตวิทยาลัย มหาวิทยาลัยเกษตรศาสตร์  
เพื่อความสมบูรณ์แห่งปริญญาวิทยาศาสตรมหาบัณฑิต (รังสีประยุกต์และไอโซโทป)

พ.ศ. 2553

อังศุมาลิน อินแดง 2553: การวัดและประเมินค่าการกระเจิงของระดับรังสีแกมมาอ้างอิงใน  
ห้องปฏิบัติการวัดรังสีมาตรฐานทุติยภูมิ ด้วยระบบวัดแบบอิมเมจิงเพลต ปริญญาวิทยาศาสตร  
มหาบัณฑิต (รังสีประยุกต์และไอโซโทป) สาขารังสีประยุกต์และไอโซโทป ภาควิชารังสีประยุกต์  
และไอโซโทป อาจารย์ที่ปรึกษาวิทยานิพนธ์หลัก: ผู้ช่วยศาสตราจารย์วันวิสา สุกประเสริฐ, Ph.D.  
64 หน้า

ห้องปฏิบัติการวัดรังสีมาตรฐานทุติยภูมิ (SSDL) สำนักงานปรมาณูเพื่อสันติ เป็นห้องปฏิบัติการ  
มาตรฐานแห่งชาติในสาขารังสีกัมมาไอออน และเป็นเครือข่ายของ IAEA มีหน้าที่ดำรงรักษา และถ่ายทอด  
มาตรฐานไปยังผู้ใช้ โดยให้บริการสอบเทียบเครื่องสำรวจรังสี และมาตรรังสีแบบพกพา แก่หน่วยงานภาครัฐ  
และเอกชนทั่วประเทศ ดังนั้นการวัดระดับรังสี เพื่อใช้เป็นค่าอ้างอิงสำหรับการสอบเทียบจึงมีความสำคัญยิ่ง  
งานวิจัยนี้มีวัตถุประสงค์เพื่อตรวจวัดและประเมินค่าระดับการกระเจิงของรังสีแกมมาอ้างอิงจากต้นกำเนิดรังสี  
 $^{137}\text{Cs}$  ของเครื่องฉายรังสี OB85 ในห้อง SSDL ซึ่งมีขนาดกว้าง 4.5 เมตร ยาว 10 เมตร ด้วยระบบวัดแบบ  
อิมเมจิงเพลต ซึ่งต้องสอบเทียบระดับสัญญาณที่ได้จากแผ่นบันทึกภาพ กับระดับรังสีมาตรฐานก่อน เมื่อได้ค่า  
Calibration factor แล้วจึงนำไปวัดการกระเจิงภายในห้อง SSDL จากนั้นประเมินค่าระดับการกระเจิงของรังสี  
แกมมา และทดสอบระดับการกระเจิงที่ประเมินได้ด้วยมาตรวัดรังสีแบบพกพา

ผลการศึกษาพบว่าค่า Calibration factor ของแผ่นบันทึกภาพรุ่น BAS-MS2040 มีค่าเท่ากับ  $0.094 \text{ mR}\cdot\text{mm}^2\cdot\text{PSL}^{-1}$  ระดับการกระเจิงภายในห้อง SSDL ที่ระยะห่าง 1 ถึง 6 เมตร จากต้นกำเนิดรังสีนอกแนวลำรังสี  
และสูงจากพื้นห้อง 1 เมตร มีค่าประมาณ 63 - 80  $\text{mR/h}$  โดยมีค่าความไม่แน่นอนของการวัดขยายคิดเป็น 7%  
ที่ระดับความเชื่อมั่น 95% สามารถสร้างแผนภูมิระดับการกระเจิงของรังสีแกมมาในขณะที่ฉายรังสีจากเครื่องฉาย  
รังสี OB85 ได้ และสำหรับระดับการกระเจิงของรังสีแกมมาภายในระยะ 1 เมตร จากเครื่องฉายรังสีแกมมา  
OB85 เทียบกับค่าระดับรังสีของแนวลำรังสีมีค่าประมาณ 1.8% ซึ่งอยู่ในเกณฑ์ยอมรับตาม ISO 4037 โดย  
สนามรังสีมีลักษณะเป็นรูปกรวยมีความกว้าง 0.4 1.04 1.50 1.90 และ 2.42 เมตร ที่ระยะห่าง 1 2 3 4 และ  
5 เมตร จากเครื่องฉายรังสี OB85 ตามลำดับ ผลการทดสอบระดับการกระเจิงของรังสีแกมมาด้วยมาตรวัดรังสี  
แบบพกพา รุ่น RAD-60S ที่ผ่านการสอบเทียบจากห้อง SSDL แล้ว พบว่าระดับการกระเจิงของรังสีแกมมาที่วัด  
ได้จากแผ่นบันทึกภาพมีค่าใกล้เคียงกับค่าระดับรังสีที่อ่านได้จากมาตรรังสีแบบพกพา โดยมีความแตกต่างกัน  
ประมาณ 6 % สรุปได้ว่าการวัดระดับการกระเจิงของรังสีแกมมาในห้อง SSDL ด้วยระบบวัดแบบ  
อิมเมจิงเพลตสามารถนำผลการวัดที่ได้มาใช้เป็นค่าระดับรังสีแกมมาอ้างอิงในห้องฉายรังสี สำหรับใช้เพื่อการ  
สอบเทียบเครื่องสำรวจรังสีและมาตรรังสีแบบพกพา ซึ่งเป็นการสนับสนุนการป้องกันอันตรายจากรังสีตาม  
ภารกิจหลักของสำนักงานปรมาณูเพื่อสันติ

Aungsumalin Intang 2010: Measuring and Assessment of Reference Gamma Scattering in Secondary Standard Dosimetry Laboratory (SSDL) with Imaging Plate Detection System. Master of Science (Applied Radiation and Isotopes), Major Field: Applied Radiation and Isotopes, Department of Applied Radiation and Isotopes. Thesis Advisor: Assistant Professor Wanwisa Sudprasert, Ph.D. 64 pages.

Secondary Standard Laboratory (SSDL) of Office of Atoms for Peace (OAP) is a standard laboratory in ionizing radiation at national and international level. SSDL plays an important role in maintaining and transferring the reference value to users both governmental and private sectors through out the country via survey meter and pocket dosimeter calibration services. Therefore the measurement of radiation levels as reference values is necessary for calibration service. This research aimed to measure and assess the reference gamma scattering from  $^{137}\text{Cs}$  source of OB85 irradiator in  $4.5 \times 10$  m SSDL room by imaging plate detection system. The imaging plate was first calibrated with reference standard to identify the calibration factor, and then the gamma scattering in SSDL was measured. The level of gamma scattering was assessed and confirmed by the well-calibrated pocket dosimeter.

The result revealed that the calibration factor for an imaging plate model BAS-MS2040 was  $0.094 \text{ mR}\cdot\text{mm}^2\cdot\text{PSL}^{-1}$ . The gamma scattering levels at 1 – 6 meters from irradiator with 1 meter height were found to be approximately 63 - 80 mR/h with the expanded uncertainty of 7% at 95 confidence level. The chart of scattering level while operation of OB85 was established. The scattering level within 1 meter from source compared to the radiation field was approximately 1.8% which is in accordance with ISO 4037. The characteristic of radiation field of OB85 gamma irradiator was a conical shape with the width of 0.4, 1.04, 1.50, 1.90 and 2.42 meters at 1, 2, 3, 4 and 5 meter from the OB85, respectively. The scattering levels measured by imaging plate were found to be similar to those measured by pocket dosimeter, with only 6% difference. It can be concluded that the gamma scattering levels in SSDL room measured by imaging plate can effectively be used as reference levels for calibration of survey meter and pocket dosimeter, accordingly supporting the radiation protection program of OAP.

---

Student's signature

---

Thesis Advisor's signature

## กิตติกรรมประกาศ

งานวิจัยนี้ได้รับทุนสนับสนุนการวิจัยจากกระทรวงวิทยาศาสตร์และเทคโนโลยี ภายใต้โครงการความร่วมมือในการผลิตนักวิจัยและพัฒนาด้านวิทยาศาสตร์และเทคโนโลยี (ผนวท) ประจำปี พ.ศ. 2551

ขอขอบพระคุณ ผู้ช่วยศาสตราจารย์ วันวิสา สูดประเสริฐ อาจารย์ที่ปรึกษาวิทยานิพนธ์ กรุณาให้คำปรึกษาและคำแนะนำในการแก้ปัญหาต่างๆ ที่เกิดจากขณะทำการค้นคว้า วิจัย รวมถึงการแก้ไขความถูกต้องของวิทยานิพนธ์

ขอขอบพระคุณ คุณธงชัย สูดประเสริฐ ผู้อำนวยการกลุ่มมาตรฐานการวัดรังสีและกัมมันตภาพรังสี สำนักสนับสนุนความปลอดภัยการกำกับดูแลความปลอดภัยจากพลังงานปรมาณู นักวิจัยที่รับผิดชอบโครงการวิจัยรองรับ สำหรับคำปรึกษา และคำแนะนำขณะทำการวิจัย ตรวจสอบความถูกต้องของวิทยานิพนธ์ รวมถึงการเข้าใช้ห้องปฏิบัติการ ตลอดจนอุปกรณ์เครื่องมือต่างๆ ของกลุ่มงานฯ

ขอขอบพระคุณ คุณพ่อ คุณแม่ และพี่ๆ เพื่อนๆ ทุกคนที่คอยให้ความช่วยเหลือ ให้กำลังใจ ชี้แนะและสนับสนุนการทำวิทยานิพนธ์ให้สำเร็จลุล่วงไปด้วยดี

อังศุมาลิน อินแดง  
มิถุนายน 2553

## สารบัญ

	หน้า
สารบัญ	(1)
สารบัญตาราง	(2)
สารบัญภาพ	(3)
คำนำ	1
วัตถุประสงค์	3
การตรวจเอกสาร	4
อุปกรณ์และวิธีการ	20
อุปกรณ์	20
วิธีการ	25
ผลและวิจารณ์ผล	32
สรุปและเสนอแนะ	47
สรุป	47
ข้อเสนอแนะ	48
เอกสารและสิ่งอ้างอิง	49
ภาคผนวก	52
ประวัติการศึกษาและการทำงาน	64

## สารบัญตาราง

ตารางที่		หน้า
1	บัญชีต้นกำเนิดรังสีภายในห้องปฏิบัติการวัดรังสีมาตรฐานทุติยภูมิ	7
2	ผลการศึกษาปัจจัยเรื่องระยะเวลาในการลบแผ่นบันทึกภาพ และระยะเวลาในการวางแผ่นบันทึกภาพเพื่อวัดระดับรังสีพื้นหลัง และระดับรังสีในห้องฉายรังสีที่พิกัด 5,2.25	32
3	Repeatability ของแผ่นบันทึกภาพ เมื่อทำการวัดที่ระยะ 5 เมตร	34
4	Uncertainty Budget	40
5	ผลการวัดระดับรังสีแกมมาอ้างอิงจากต้นกำเนิดรังสี Cs-137 ที่ระยะ 2 เมตร ด้วยระบบวัดแบบอิมเมจิงเพลต โดยฉายรังสี 1 นาที่ C.F. 0.094 mR PSL <sup>-1</sup> mm <sup>2</sup>	41
6	ผลการวัดระดับรังสีกระเจิงที่ปริมาณรังสี 100 μSv ด้วยมาตรรังสีแบบพกพา (PD) ณ พิกัดต่างๆ โดย C.F. PD = 1.06 และ u <sub>exp</sub> = 6% ที่ระดับความเชื่อมั่น 95%	45
<b>ตารางผนวกที่</b>		
1	ผลการศึกษาปัจจัยเรื่องระยะเวลาในการลบแผ่นบันทึกภาพ และระยะเวลาในการวางแผ่นบันทึกภาพเพื่อวัดระดับรังสีพื้นหลัง และระดับรังสีในห้องฉายรังสีที่ระยะ 5 เมตร	53
2	การสอบเทียบระบบวัดแบบอิมเมจิงเพลต	57
3	ผลการวัดระดับรังสีแกมมาอ้างอิงจากต้นกำเนิดรังสี Cs-137 ที่ระยะ 2 เมตร ด้วยระบบวัดแบบอิมเมจิงเพลต โดยฉายรังสี 1 นาที่ C.F. 0.094 mRPSL <sup>-1</sup> mm <sup>2</sup>	57
4	ผลการวัดระดับรังสีกระเจิงที่ปริมาณรังสี 100 μSv ด้วยมาตรรังสีแบบพกพา (PD) ณ พิกัดต่างๆ โดย C.F. PD = 1.06 และ u <sub>exp</sub> = 6% ที่ระดับความเชื่อมั่น 95%	59
5	ระดับการกระเจิงของรังสีแกมมาภายในห้องฉายรังสี ณ พิกัดต่างๆ ด้วยระบบวัดแบบอิมเมจิงเพลต โดยฉายรังสี 1 นาที่ C.F. 0.094 mR PSL <sup>-1</sup> mm <sup>2</sup>	60

## สารบัญภาพ

ภาพที่		หน้า
1	ห้องปฏิบัติการวัดรังสีมาตรฐานทุติยภูมิ สำนักงานปรมาณูเพื่อสันติ	6
2	โครงสร้างและส่วนประกอบของแผ่นบันทึกภาพ	10
3	แผ่นบันทึกภาพชนิด BAS-III	10
4	แผ่นบันทึกภาพชนิด BAS-MP	11
5	แผ่นบันทึกภาพชนิด BAS-TR	11
6	แผ่นบันทึกภาพชนิด BAS-ND	12
7	แผ่นบันทึกภาพชนิด BAS-SR	12
8	แผ่นบันทึกภาพชนิด BAS-MS	13
9	แผนผังโครงสร้างแถบพลังงานของ $BaFBr:Eu^{+2}$	14
10	เครื่องสแกนอ่านภาพ (ก) และการสแกนเพื่ออ่านภาพตามปริมาณพลังงาน จากแผ่นบันทึกภาพ (ข)	15
11	ดัลต้าบรรจุแผ่นบันทึกภาพ	16
12	ระบบวัดแบบอิมเมจิงเพลต	20
13	แผ่นบันทึกภาพรุ่น BAS-MS2040	20
14	เครื่องสแกนอ่านภาพ BAS-2500	21
15	เครื่องลบภาพ	21
16	โปรแกรม Image Reader BAS-2500	22
17	โปรแกรมวิเคราะห์ภาพ	23
18	เครื่องฉายรังสี OB85 (ภาพซ้าย) และระบบควบคุมเวลา (ภาพขวา)	23
19	อุปกรณ์จัดวางตำแหน่งแผ่นบันทึกภาพ ภายในห้องปฏิบัติการวัดรังสี มาตรฐานทุติยภูมิ	24
20	มาตรฐานรังสีแบบพกพา	24
21	แผนภาพกำหนดจุดวัดปริมาณรังสีภายในห้อง SSDL	30
22	แผนภาพตำแหน่งการวางมาตรฐานรังสีแบบพกพาภายในห้อง SSDL	31
23	กราฟแสดงความคงที่ของระบบวัดแบบอิมเมจิงเพลตในแต่ละเดือน	36
24	กราฟแสดงความสัมพันธ์ระหว่างค่า $PSL/mm^2$ กับปริมาณรังสี (mR)	37

## สารบัญภาพ (ต่อ)

ภาพที่		หน้า
25	ภาพสามมิติแสดงระดับการกระเจิงของรังสีที่ระยะ 1 – 6 เมตร ซึ่งบริเวณสีเขียวจะเป็นบริเวณที่มีระดับการกระเจิงของรังสี ส่วนบริเวณสีน้ำเงินและแดงเป็นสนามรังสีที่ตัดออกไปแสดงในภาพที่ 26	43
26	สนามรังสีจากเครื่องฉายรังสี OB85 ที่ระยะ 1-6 เมตร ในห้องปฏิบัติการวัดรังสีมาตรฐานทุติยภูมิ สำหรับ Cs-137	44
<b>ภาพผนวกที่</b>		
1	แผนภาพระดับรังสี (mR/h) ภายในห้อง SSDL	63

การวัดและประเมินค่าการกระเจิงของระดับรังสีแกมมาอ้างอิง  
ในห้องปฏิบัติการวัดรังสีมาตรฐานทุติยภูมิ ด้วยระบบวัดแบบอิมเมจิงเพลต

Measuring and Assessment of Reference Gamma Scattering in  
Secondary Standard Dosimetry Laboratory (SSDL)  
with Imaging Plate Detection System

คำนำ

ห้องปฏิบัติการวัดรังสีมาตรฐานทุติยภูมิ (Secondary Standard Dosimetry Laboratory, SSDL) กลุ่มมาตรฐานการวัดรังสีและกัมมันตภาพรังสี สำนักสนับสนุนการกำกับดูแลความปลอดภัยจากพลังงานปรมาณู สำนักงานปรมาณูเพื่อสันติ เน้นการใช้ประโยชน์ด้านการวัดปริมาณรังสีเพื่อการป้องกันอันตรายจากรังสี และการสอบเทียบมาตรฐาน ตามพระราชบัญญัติพลังงานปรมาณูเพื่อสันติ พ.ศ. 2504 และได้ให้บริการสอบเทียบเครื่องสำรวจรังสี (Survey meter) และมาตรรังสีแบบพกพา (Pocket dosimeter) แก่หน่วยงานภาครัฐและเอกชนทั่วประเทศ โดยไม่คิดค่าบริการในการสอบเทียบ เนื่องจากการสอบเทียบมาตรฐานเครื่องวัดรังสี เป็นข้อกำหนดพื้นฐานสากลในการใช้ประโยชน์จากพลังงานปรมาณู เพื่อให้เกิดความปลอดภัยแก่ผู้ปฏิบัติงานด้านรังสี และประชาชนทั่วไป ยังผลให้การใช้ประโยชน์จากรังสี และสารรังสีมีความปลอดภัยเมื่อเครื่องวัดรังสีได้ผ่านการสอบเทียบเป็นประจำทุกปี

จากความสำคัญของห้อง SSDL ที่กล่าวมาข้างต้นทำให้การวัดการกระเจิงของรังสีแกมมาที่เกิดจากอุปกรณ์ที่ติดตั้งในห้องปฏิบัติการวัดรังสีมาตรฐานทุติยภูมิ มีความสำคัญต่อการกำหนดค่ามาตรฐานด้านการวัดปริมาณรังสี เพื่อการอ้างอิงในระดับประเทศด้านการป้องกันอันตรายจากรังสี ซึ่งในการวัดการกระเจิงสามารถใช้หัววัดรังสีแบบไอออไนเซชันแชนเบอร์เป็นหัววัดรังสีมาตรฐานสำหรับการตรวจวัดปริมาณรังสีที่มีความเที่ยงตรงและแม่นยำสูง โดยอาศัยหลักการของค่าความต่างศักย์ซึ่งเกิดจากค่ากระแสที่วัดได้จากรังสีที่ก่อไอออน ซึ่งค่าความต่างศักย์นี้จะเป็นสัดส่วนกับปริมาณรังสีที่เข้ามาในหัววัดรังสี แต่ค่ากระแสที่เกิดขึ้นในหัววัดรังสีจะมีค่าต่ำมาก ดังนั้นจะต้องใช้อุปกรณ์อิเล็กทรอนิกส์ที่ซับซ้อนในการขยายสัญญาณ จึงทำให้หัววัดรังสีแบบไอออไนเซชันแชนเบอร์มีราคาสูง ต้องระมัดระวังอย่างมากในการใช้งาน รวมถึงระวังการกระแทกเพราะหัววัดมี

ลักษณะบอบบางและเบา และถ้าต้องการใช้หัววัดรังสีแบบไอออไนเซชันแชนเบอร์วัดการกระเจิง ต้องใช้ระยะเวลามากในการทดลองแต่ละครั้ง ถ้าต้องการพกติดอย่างละเอียด ในขณะที่ระบบการวัดรังสีแบบอิมเมจิงเพลต นอกจากจะสามารถตรวจวัดภาพถ่ายของรังสี โดยแสดงเป็นภาพ 2 มิติแล้ว ยังสามารถแสดงปริมาณ หรือความเข้มของรังสีในแต่ละจุดได้อีกด้วย

ระบบการวัดแบบอิมเมจิงเพลต ได้ถูกนำมาประยุกต์ใช้ครั้งแรกทางการแพทย์ในงานด้านรังสีวินิจฉัย โดยใช้ในการถ่ายภาพด้วยรังสีเอกซ์ จากนั้นได้มีการประยุกต์ใช้ ในวงกว้างออกไปทางด้านวิทยาศาสตร์และเทคโนโลยี อาทิเช่น ใช้ในงานด้านการถ่ายภาพ และงานปรับเทียบมาตรฐานเป็นต้น ระบบการวัดรังสีแบบอิมเมจิงเพลต ประกอบไปด้วยแผ่นอิมเมจิงเพลตที่ทำด้วยโพลีเอสเตอร์ (Polyester) เคลือบด้วยผลึกสารเรืองแสงกลุ่มแบเรียมฟลูออไรด์เฮไลต์ เจือยูโรเปียม ( $\text{BaF}(\text{Br,Cl,I})\text{:Eu}^{2+}$ ) และเคลือบทับด้วยโพลีเอทเทอรีนเทเรฟทาเลต (Polyethylene terephthalate) แผ่นอิมเมจิงเพลตที่ถูกฉายรังสีแล้ว เมื่อนำมาอ่านด้วยเครื่องวิเคราะห์ซึ่งมีระบบสแกนอย่างละเอียด จะกระตุ้นผลึกสารเรืองแสงให้คายพลังงานออกมา และตรวจจับภาพสองมิติของสัญญาณรังสีที่เกิดขึ้น ถ่ายโอนเข้าคอมพิวเตอร์ และแสดงผลได้ แผ่นอิมเมจิงเพลตนี้ สามารถลบสัญญาณออก และนำกลับมาใช้ซ้ำได้อีก

เนื่องจากในปี พ.ศ. 2550 ห้อง SSDL สำนักงานปรมาณูเพื่อสันติ ได้เริ่มนำระบบคุณภาพสากล ISO/IEC 17025 มาปฏิบัติอย่างจริงจัง เพื่อใช้เป็นมาตรฐานในการพัฒนาห้องปฏิบัติการงานวิจัยนี้จึงได้นำระบบวัดแบบอิมเมจิงเพลต มาใช้วัดและประเมินค่าการกระเจิงของระดับรังสีแกมมาอ้างอิงในห้อง SSDL จากเครื่องฉายรังสี OB85 เพื่อนำค่าระดับการกระเจิงที่ได้จากการทดลอง ไปใช้สนับสนุนค่าระดับรังสีอ้างอิงภายในห้องฉายรังสี สำหรับใช้เพื่อการสอบเทียบเครื่องวัดรังสีในห้อง SSDL ต่อไป

## วัตถุประสงค์

1. เพื่อวัดและประเมินค่าระดับรังสี และสร้างแผนภูมิการกระจายของรังสีแกมมาในขณะฉายรังสีจากเครื่องฉายรังสี OB85 โดยใช้ระบบวัดแบบอิมเมจิงเพลตที่ผ่านการสอบเทียบมาตรฐานแล้ว
2. เพื่อนำค่าระดับการกระจายที่ได้จากการทดลอง ไปใช้พิสูจน์ระดับรังสีกระจาย และสนับสนุนค่าระดับรังสีอ้างอิงภายในห้องฉายรังสี สำหรับใช้เพื่อการสอบเทียบเครื่องวัดระดับรังสีในห้องปฏิบัติการวัดรังสีมาตรฐานทุติยภูมิ
3. เพื่อพิสูจน์ว่า ห้องปฏิบัติการวัดรังสีมาตรฐานทุติยภูมิ มีค่าการกระจาย เป็นไปตามข้อกำหนดของห้องปฏิบัติการสอบเทียบมาตรฐานการวัดรังสีในระดับทุติยภูมิ

## การตรวจเอกสาร

### มาตรฐานทางการวัดปริมาณรังสี

มาตรฐานทางการวัดปริมาณรังสี แบ่งออกเป็น 2 อันดับ คือมาตรฐานปฐมภูมิ (Primary Standard) และมาตรฐานทุติยภูมิ (Secondary Standard) โดยมาตรฐานปฐมภูมิได้มีต้นกำเนิดที่ Bureau International des Poids et Mesures, BIPM ที่ประเทศฝรั่งเศส (IAEA, 1999) ซึ่งปัจจุบันนี้ ประเทศที่มีมาตรฐานการวัดทั้ง 2 แบบ ได้แก่ สหรัฐอเมริกา และญี่ปุ่น เป็นต้น

ห้องปฏิบัติการวัดรังสีมาตรฐาน มีอยู่ 2 ประเภท คือ (สำนักงานปรมาณูเพื่อสันติ, 2546)

#### 1. ห้องปฏิบัติการวัดรังสีมาตรฐานปฐมภูมิ (Primary Standard Dosimetry Laboratory, PSDL)

เป็นห้องปฏิบัติการที่มีการวัดรังสีมาตรฐานปฐมภูมิ (Primary Standards) คือการวัดหาค่าพื้นฐานต่าง ๆ ตามคำนิยามของหน่วยวัดรังสี เช่น การวัดปริมาณรังสี หรือปริมาณรังสีในอากาศ (Exposure) เป็นการวัดหาประจุที่เกิดจากการแตกตัวเนื่องจากรังสีเอกซ์หรือแกมมาในอากาศที่มีมวลจำกัด หรือการวัดปริมาณรังสีที่ถูกดูดกลืน (Absorbed dose) เป็นการวัดหาปริมาณพลังงานของรังสีที่ถูกวัดดูดกลืนไว้ เป็นต้น ซึ่งเทคนิคและวิธีการเหล่านี้เป็นเทคนิคและวิธีการที่ยุ่ยากและซับซ้อน อีกทั้งต้องใช้บุคลากรที่มีความรู้ความชำนาญเป็นพิเศษ รวมทั้งต้องใช้งบประมาณรายจ่ายจำนวนมาก

#### 2. ห้องปฏิบัติการวัดรังสีมาตรฐานทุติยภูมิ (Secondary Standard Dosimetry Laboratory, SSDL)

เป็นห้องปฏิบัติการที่มีเครื่องมือวัดรังสีที่มีความแม่นยำสูงหรือต้นกำเนิดรังสีมาตรฐานที่ได้รับการปรับเทียบมาตรฐานมาจากห้องปฏิบัติการวัดรังสีมาตรฐานปฐมภูมิ ซึ่งชุดเครื่องมือวัดรังสีและต้นกำเนิดรังสีที่ได้รับการปรับเทียบมาตรฐานนี้ จะนำมาใช้เป็นเครื่องวัดและต้นกำเนิดรังสีมาตรฐานทุติยภูมิ (Secondary Standards) สำหรับปรับเทียบเครื่องมือวัดรังสีที่ใช้งานทั่วไป (Field Instruments)

ส่วนประเทศไทยมีเฉพาะห้องปฏิบัติการวัดรังสีมาตรฐานทุติยภูมิ (SSDL) เท่านั้น โดยมีการก่อตั้งห้องปฏิบัติการทางรังสีขึ้นที่กองรังสีและเครื่องมือแพทย์ ซึ่งเดิมก็คือ กองป้องกันอันตรายจากรังสี กรมวิทยาศาสตร์การแพทย์ เป็นที่แรกในปี พ.ศ. 2517 เพื่อใช้ประโยชน์ในด้านการแพทย์ โดยเฉพาะการวัดปริมาณรังสีรักษา (Radiotherapy) และในปี พ.ศ. 2521 ได้ดำเนินการก่อตั้งขึ้นที่กองการวัดกัมมันตภาพรังสี สำนักงานพลังงานปรมาณูเพื่อสันติ (พปส.) เน้นการใช้ประโยชน์ด้านการวัดปริมาณรังสีเพื่อการป้องกันอันตรายจากรังสี และการสอบเทียบมาตรฐาน ตามพระราชบัญญัติพลังงานปรมาณูเพื่อสันติ พ.ศ. 2504 ภายหลังการปรับปรุงกระทรวงทบวงกรมในปี 2545 พปส. ได้เปลี่ยนชื่อเป็น สำนักงานปรมาณูเพื่อสันติ หรือ ปส. และห้องปฏิบัติการวัดรังสีมาตรฐานทุติยภูมิ (SSDL) ถูกสังกัดอยู่ในกลุ่มงานมาตรฐานการวัดรังสีและกัมมันตภาพรังสี สำนักสนับสนุนการกำกับดูแลความปลอดภัยจากพลังงานปรมาณู

จากจุดเริ่มต้นดังกล่าวมานี้ ห้องปฏิบัติการการวัดรังสีมาตรฐานทุติยภูมิเพื่อการป้องกันอันตรายจากรังสี กลุ่มมาตรฐานการวัดรังสีและกัมมันตภาพรังสี สำนักสนับสนุนการกำกับดูแลความปลอดภัยจากพลังงานปรมาณู สำนักงานปรมาณูเพื่อสันติ ได้ดำเนินงานจัดระบบห้องปฏิบัติการมาตรฐานนี้อย่างต่อเนื่อง และได้ให้บริการสอบเทียบเครื่องสำรวจรังสี (Survey meter) และมาตรรังสีแบบพกพา (Pocket dosimeter) แก่หน่วยงานภาครัฐและเอกชนทั่วประเทศ โดยไม่คิดค่าบริการในการสอบเทียบ เนื่องจากการสอบเทียบมาตรฐานเครื่องวัดรังสี เป็นข้อกำหนดพื้นฐานสากลในการใช้ประโยชน์จากพลังงานปรมาณู เพื่อให้เกิดความปลอดภัยแก่ผู้ปฏิบัติงานด้านรังสีและประชาชนทั่วไป ยังผลให้การใช้ประโยชน์จากรังสี และสารรังสีมีความปลอดภัยเมื่อเครื่องมือวัดรังสีผ่านการสอบเทียบเป็นประจำทุกปี และในปี พ.ศ. 2547 สำนักงานปรมาณูเพื่อสันติ และสถาบันมาตรวิทยาแห่งชาติ กระทรวงวิทยาศาสตร์และเทคโนโลยีได้ทำบันทึกข้อตกลงว่าด้วยความร่วมมือในการพัฒนาหน่วยวัดแห่งชาติ เพื่อกำหนดข้อตกลงและเงื่อนไขของความร่วมมืออันจะก่อให้เกิดการพัฒนาหน่วยวัดแห่งชาติในสาขารังสีกัมมาไอออน โดยสำนักงานฯ จะเป็นตัวแทนในการพัฒนาและร่วมมือกับหน่วยงานทั้งในประเทศ และต่างประเทศ ในสาขารังสีกัมมาไอออน และสถาบันมาตรวิทยาจะส่งเสริมเพื่อให้สำนักงานฯ ได้รับการยอมรับในระดับนานาชาติในสาขารังสีกัมมาไอออน เพื่อให้ระบบการวัดแห่งชาติมีความเข้มแข็ง สามารถถ่ายทอดความถูกต้องของการวัดสู่ผู้ใช้งานภายในประเทศได้อย่างเต็มประสิทธิภาพ และในปี พ.ศ. 2550 ได้เริ่มนำระบบคุณภาพสากล ISO/IEC 17025 มาปฏิบัติอย่างจริงจัง เพื่อใช้เป็นมาตรฐานในการพัฒนาห้องปฏิบัติการ

ห้องปฏิบัติการวัดรังสีมาตรฐานทุติยภูมิ สำนักงานปรมาณูเพื่อสันติ (ภาพที่ 1) ได้มีการจัดตั้งขึ้นมาโดยมีวัตถุประสงค์ดังนี้ คือ

- เพื่อความปลอดภัยของชีวิต เนื่องจากการวัดรังสีที่ถูกต้องจะทำให้การประเมินค่าความปลอดภัยทางรังสีได้อย่างถูกต้อง
- เป็นศูนย์มาตรฐานด้านการวัดรังสีของประเทศ โดยทำการควบคุมมาตรฐานด้านการวัดรังสีให้อยู่ในมาตรฐานสากล
- สนับสนุนการวิจัยและพัฒนางานด้านนิวเคลียร์เทคโนโลยีโดยอาศัยผลการวัดรังสีที่ถูกต้อง และมีมาตรฐานเดียวกัน เพื่อให้ผลการวิจัยสามารถนำมาอ้างอิงและเปรียบเทียบกันได้
- ให้บริการเปรียบเทียบมาตรฐานเครื่องมือวัดรังสีทั่วประเทศ
- ศึกษาวิจัยเกี่ยวกับการวัดรังสีด้วยเทคโนโลยีแบบใหม่
- ถ่ายทอดความรู้ด้านการวัดรังสี



ภาพที่ 1 ห้องปฏิบัติการวัดรังสีมาตรฐานทุติยภูมิ สำนักงานปรมาณูเพื่อสันติ

ห้องปฏิบัติการวัดรังสีมาตรฐานทุติยภูมิ ประกอบด้วยระบบเครื่องวัดปริมาณรังสีมาตรฐาน ทุติยภูมิ ที่ผ่านการสอบเทียบรับรองจากห้องปฏิบัติการมาตรฐานระดับปฐมภูมิ ซึ่งก็คือ ระบบวัดรังสีแบบไอออนในเซชันแชมเบอร์ และมีแหล่งกำเนิดสนามรังสี เพื่อใช้เป็นตัวกลางเพื่อการสอบเทียบคือ เครื่องฉายรังสีแกมมา รุ่น OB85 ซึ่งบรรจุวัสดุกัมมันตรังสี  $^{137}\text{Cs}$  และ  $^{60}\text{Co}$  ซึ่งมีค่ากัมมันตภาพรังสีประมาณ 740 GBq และ 37 GBq เมื่อวันที่ 13 พฤษภาคม พ.ศ. 2530 และ 29 เมษายน พ.ศ. 2530 ตามลำดับ นอกจากนี้ ยังมีระบบวัดและควบคุมสภาพอากาศภายในห้องสอบเทียบ และระบบกำหนดระยะทางเพื่อการจัดวางเครื่องวัดและหัววัดชนิดต่างๆ ได้อย่างแม่นยำ รวมถึงผนังห้องโดยรอบที่ออกแบบเพื่อให้สามารถกำบังรังสีได้ และระบบควบคุมความปลอดภัยของห้องฉายรังสีตามมาตรฐานสากล เช่น door interlock, warning lamps, and light barrier, and signs อีกด้วย

นอกจากเครื่องฉายรังสีแกมมา รุ่น OB85 แล้วภายในห้องปฏิบัติการวัดรังสีมาตรฐาน ทุติยภูมิ มีเครื่องฉายรังสี รุ่น OB34 และ OB26 รวมทั้งวัสดุกัมมันตรังสี  $^{241}\text{Am}$  รายละเอียดแสดงดังตารางที่ 1

ตารางที่ 1 บัญชีต้นกำเนิดรังสีภายในห้องปฏิบัติการวัดรังสีมาตรฐานทุติยภูมิ

ชื่อเครื่องฉายรังสี	รายการต้นกำเนิดรังสี	ปริมาณความแรง (MBq)	
		เริ่มนำเข้า	วันที่เริ่มนำเข้า
OB85	$^{60}\text{Co}$	37,000	29/04/2530
	$^{137}\text{Cs}$	740,000	13/05/2530
OB34	$^{60}\text{Co}$	3.70	24/10/2528
	$^{60}\text{Co}$	25.90	24/10/2528
	$^{60}\text{Co}$	370	23/10/2528
	$^{137}\text{Cs}$	7.40	21/10/2528
	$^{137}\text{Cs}$	74	21/10/2528
	$^{137}\text{Cs}$	740	21/10/2528
OB26	$^{241}\text{Am-Be}$	185,000	20/07/2527
	$^{241}\text{Am}$	7,400	01/08/2523

การสอบเทียบเครื่องวัดรังสีโดยทั่วไป ทำได้โดยการสอบเทียบและรับรองระดับรังสีอ้างอิง ที่ตำแหน่งต่างๆ ภายในห้องฉายรังสีก่อน โดยใช้หัววัดรังสีแบบไอออนไนเซชันแฮมเบอร์ ซึ่ง เป็นเครื่องวัดปริมาณรังสีมาตรฐานทุติยภูมิ ที่ผ่านการสอบเทียบและรับรองค่าความไม่แน่นอนจาก ห้องปฏิบัติการมาตรฐานปฐมภูมิของต่างประเทศ และนำมาจัดวางที่ตำแหน่งอ้างอิงใดๆ ในสนาม รังสีที่ได้จากเครื่องฉายรังสี OB85 เพื่อวัดค่าปริมาณการแตกตัวของอากาศ ในรูปประจุไฟฟ้าใน หัววัด โดยใช้เครื่องอิเล็กทรอนิกส์ และบันทึกค่าเป็นหน่วยวัด Coulomb ภายในระยะเวลาที่ กำหนด เนื่องจากอัตราการแตกตัวเป็นไอออนของอากาศ ภายในหัววัด จะขึ้นอยู่กับระดับปริมาณ รังสีแล้ว ยังขึ้นอยู่กับจำนวนโมเลกุลของอากาศ ภายในหัววัดด้วย ตามหลักการ thermodynamic จึง ต้องปรับแก้ค่าไปยังค่าอุณหภูมิและความกดดันบรรยากาศอ้างอิง (STP) ที่ถูกใช้ขณะสอบเทียบและ รับรองจากห้องปฏิบัติการ PSDL ตามสมการ ดังนี้

1. ค่าแก้ความหนาแน่นของอากาศ (Air density correction) จากสมการที่ 1

$$\text{Air density correction } (k_{dp}) = \frac{273.15 + t}{293.15} \times \frac{101.325}{P} \quad (1)$$

เมื่อ  $t$  คือ อุณหภูมิของอากาศขณะวัดเทียบกับอุณหภูมิอ้างอิง ที่  $20^{\circ}\text{C}$

$P$  คือ ความดันอากาศขณะวัดเทียบกับความดันบรรยากาศอ้างอิงที่  $101.325\text{ kPa}$

2. Correction factor  $Q$  ตามชนิดของรังสี ดูจากใบรับรองผลการสอบเทียบจาก PSDL

3. Calibration factor C.F. สำหรับ air kerma มีหน่วยเป็น Gy/C จากใบรับรองผลการสอบเทียบ

4. ค่าแก้ของ range การแสดงผลจากใบรับรองผลการสอบเทียบด้าน ไฟฟ้าของอิเล็กทรอนิกส์

หลังนำค่าประจุ (C/เวลา) ที่วัดได้ แก่ค่าต่างๆ แล้ว มาคำนวณหาระดับรังสี (mR/h) เพื่อใช้ เป็นค่ามาตรฐานอ้างอิงสำหรับการสอบเทียบเครื่องวัดรังสีต่อไป

การกระเจิงของรังสีแกมมาที่เกิดจากอุปกรณ์ที่ติดตั้งในห้องปฏิบัติการวัดรังสีมาตรฐาน ทุติยภูมิ มีความสำคัญต่อการกำหนดค่ามาตรฐานด้านการวัดปริมาณรังสี เพื่อการอ้างอิงใน ระดับประเทศด้านการป้องกันอันตรายจากรังสี ซึ่งในการวัดการกระเจิงสามารถใช้หัววัดรังสีแบบ ไอออนไนเซชันแฮมเบอร์เป็นหัววัดรังสีมาตรฐานสำหรับการตรวจวัดปริมาณรังสีที่มีความเที่ยงตรง และแม่นยำสูง โดยอาศัยหลักการของค่าความต่างศักย์ซึ่งเกิดจากค่ากระแสที่วัดได้จากรังสีที่ก่อ

ไอออน ซึ่งค่าความต่างศักย์นี้จะเป็นส่วนสำคัญกับปริมาณรังสีที่เข้ามาในหัววัดรังสี แต่ค่ากระแสที่เกิดขึ้นในหัววัดรังสีจะมีค่าต่ำมาก ดังนั้นจะต้องใช้อุปกรณ์อิเล็กทรอนิกส์ที่ซับซ้อนในการขยายสัญญาณ (สำนักงานปรมาณูเพื่อสันติ, 2546) จึงทำให้หัววัดรังสีแบบไอออนในเซชันแชนเบอร์มีราคาสูง ต้องระมัดระวังอย่างมากในการใช้งาน รวมถึงระวังการกระแทกเพราะหัววัดมีลักษณะบอบบางและเบา และถ้าต้องการใช้หัววัดรังสีแบบไอออนในเซชันแชนเบอร์วัดการกระเจิง ต้องใช้ระยะเวลามากในการทดลองแต่ละครั้ง ถ้าต้องการพิกัดอย่างละเอียด ในขณะที่ระบบการวัดรังสีแบบอิมเมจิงเพลต สามารถตรวจวัดภาพถ่ายของรังสี โดยแสดงเป็นภาพ 2 มิติแล้ว ยังสามารถแสดงปริมาณ หรือความเข้มของรังสีในแต่ละจุดได้ด้วย

### ระบบวัดแบบอิมเมจิงเพลต

อุปกรณ์ในระบบวัดแบบอิมเมจิงเพลต (Imaging plate detection system) นี้ประกอบด้วย แผ่นบันทึกภาพ เครื่องสแกนอ่านภาพ เครื่องลบภาพ ตลับบรรจุแผ่นบันทึกภาพ ไมโครคอมพิวเตอร์ โปรแกรมอ่านแผ่นบันทึกภาพ และโปรแกรมสำหรับการวิเคราะห์ภาพ โดยกล่าวรายละเอียดดังนี้ (ธิดารัตน์, 2546; อำไพ, 2548; สมาคมนิวเคลียร์แห่งประเทศไทย, 2551)

#### 1. แผ่นบันทึกภาพ

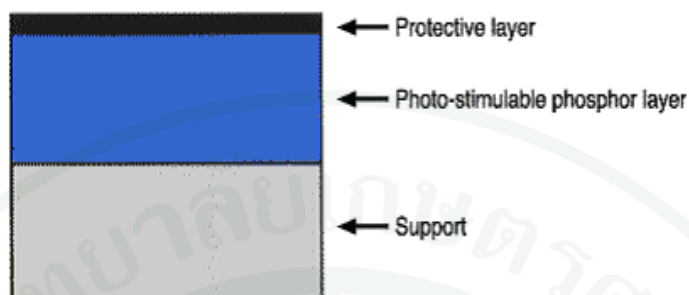
โครงสร้างของแผ่นบันทึกภาพ แสดงดังภาพที่ 2 โดยทั่วไปมี 3 ชั้น ประกอบด้วย

1.1 Support layer ชั้นแผ่นฐาน ทำด้วยโพลีเอสเตอร์ (Polyester) ที่มีความอ่อนตัว หนาประมาณ 0.25-1 mm. ทำหน้าที่เป็นฐานของแผ่นเพื่อประคองหรือค้ำยันผลึกเรืองแสงที่อยู่ด้านบน

1.2 Photo-stimulate phosphor layer ชั้นของผลึกเรืองแสง ซึ่งเป็นกลุ่มของผลึกเรืองแสงขนาดเล็ก มีขนาดประมาณ 5  $\mu\text{m}$  ประกอบด้วยสารแบเรียมฟลูออไรด์โบรไมด์เจือยูโรเปียม  $\text{BaF}(\text{Br}, \text{Cl}, \text{I}):\text{Eu}^{2+}$  ผสมสารยึดเกาะ

1.3 Protective layer เป็นชั้นที่ป้องกันการกระทบกระเทือนของผลึกเรืองแสงจากกระบวนการบันทึกภาพ และการอ่านภาพ โดยเคลือบทับด้วยโพลีเอทเทอรีนเทเรฟทาเลต

(Polyethylene terephthalate) ที่ความหนา 10  $\mu\text{m}$  บ่มผิวด้วยเทคนิคทางรังสีของล้าอเล็กตรอน (EBC) เพื่อป้องกันผิวหน้าของสารเรืองแสง



ภาพที่ 2 โครงสร้างและส่วนประกอบของแผ่นบันทึกภาพ

ที่มา: Glenn (1989)

ชนิดแผ่นบันทึกภาพมีการผลิตออกมา 7 ชนิดด้วยกัน คือ BAS-III, BAS-MP, BAS-SR, BAS-TR, BAS-ND, FDL-URV และ BAS-MS โดยแต่ละชนิดมีคุณสมบัติที่แตกต่างกันออกไปตามความละเอียด ความไวต่อรังสี และความเหมาะสมกับชนิดของรังสี ซึ่งมีรายละเอียดดังนี้

### BAS-III

เป็นแผ่นบันทึกภาพที่มีความไวต่อการตอบสนองสูงมากสำหรับนิวไคลด์ C-14, P-32 และ S-35 และสามารถตั้งค่าความละเอียด (resolution) ได้ถึง 100  $\mu\text{m}$  แต่สามารถใช้กับสารรังสีตัวอย่างที่แห้งเท่านั้นเพราะไม่สามารถกั้นน้ำได้



ภาพที่ 3 แผ่นบันทึกภาพชนิด BAS-III

### BAS-MP

เป็นแผ่นบันทึกภาพที่สามารถใช้กับสารรังสีตัวอย่างที่เปียกได้ แต่มีความไวต่อการตอบสนองน้อยกว่า BAS-III



ภาพที่ 4 แผ่นบันทึกภาพชนิด BAS-MP

### BAS-TR (For $^3\text{H}$ detection)

มี 3 ขนาดคือ BAS-TR 2040 ขนาด 20×40 cm, BAS-TR 2025 ขนาด 20×25 cm และ BAS-TR ขนาด 12.7×12.7 cm เป็นแผ่นบันทึกภาพที่ออกแบบให้มีความละเอียด (resolution) มากเหมาะสำหรับใช้วัดทริเทียม (tritium, H-3) ตัวแผ่นมีลักษณะสีฟ้าอ่อน และด้านบนสุดของแผ่นไม่มีชั้นป้องกันการกระแทกกระเทือน ดังนั้นควรระมัดระวังในการใช้งาน ใช้ได้สำหรับการวัดตัวอย่างสารรังสีที่แห้งเท่านั้น และไม่จำเป็นต้องทำการทดลองในห้องมืด



ภาพที่ 5 แผ่นบันทึกภาพชนิด BAS-TR

### BAS-ND (For Neutron detection)

มี 2 ขนาดคือ BAS-ND 2040 ขนาด 20×40 cm และ BAS-ND 2025 ขนาด 20×25 cm เป็นแผ่นบันทึกภาพที่ออกแบบสำหรับการวัดนิวตรอนโดยเฉพาะ สามารถกันน้ำได้ดี ตัวแผ่นมีลักษณะสีฟ้าอ่อน ที่ผิวด้านบนมีชั้นวัสดุป้องกันการกระทบกระเทือนของชั้นผลึกเรืองแสง แตกต่างไปจากแผ่นบันทึกภาพชนิดอื่นก็จะใช้  $Gd_2O_3$  แทน BaFX (X:Cl,Br,or I)



ภาพที่ 6 แผ่นบันทึกภาพชนิด BAS-ND

### FDL-URV

เป็นแผ่นบันทึกภาพที่มีขนาดเล็กมาก (10×8.1 cm) และใช้ได้กับเครื่องสแกนอ่านภาพ รุ่น FDL-5000 เท่านั้น ดังนั้นจึงใช้ได้กับงานเฉพาะด้าน

### BAS-SR ( High resolution water resistance)

มี 4 ขนาดคือ BAS-SR 2040 ขนาด 20×40 cm, BAS-SR 2025 ขนาด 20×25 cm, BAS-SR ขนาด 12.7×12.7 cm และ BAS-SR 0813 ขนาด 8.5×12.7 cm เป็นแผ่นบันทึกภาพ ที่ออกแบบมาเป็นสีฟ้า และสามารถตั้งค่าความละเอียดได้ถึง 50  $\mu m$  เป็นชนิดเดียวที่มีความทนทานสูงและสามารถกันน้ำได้ดี ใช้ได้กับรังสีทุกชนิด



ภาพที่ 7 แผ่นบันทึกภาพชนิด BAS-SR

## BAS-MS

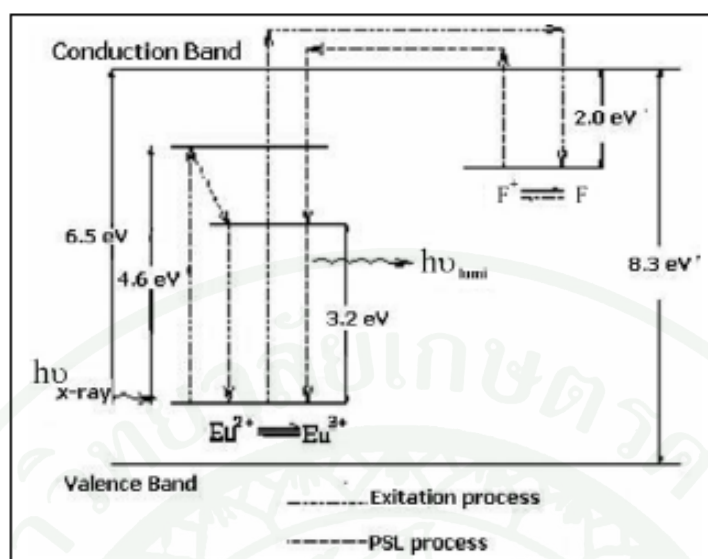
BAS-MS 2040 ขนาด 20×40 cm. เป็นแผ่นบันทึกภาพที่เพิ่งมีการพัฒนาขึ้นเพื่อให้มีความทนทานและสามารถกันน้ำได้เป็นอย่างดี รวมทั้งมีความไวในการตอบสนองสูง ตัวแผ่นมีลักษณะเป็นสีขาว



ภาพที่ 8 แผ่นบันทึกภาพชนิด BAS-MS

## 2. หลักการบันทึกภาพของแผ่นบันทึกภาพ

เนื่องจากโครงสร้างผลึกของสารเรืองแสง BaFX จะมีความบกพร่องของแลตทิซผลึกด้วยผลของการเจือ  $\text{Eu}^{+2}$  และความไม่สมบูรณ์ของโครงสร้าง ก่อให้เกิดบริเวณที่พร้อมรับการถ่ายโอนพลังงานจากรังสีซึ่งมีช่องว่างพลังงาน (Eg) ประมาณ 8.3 eV และมีระดับพลังงานระหว่างสถานะพักและสถานะพื้นประมาณ 3.2 eV เมื่ออิเล็กตรอนถูกยกระดับพลังงานจากแถบวาเลนซ์สู่แถบนำและลดพลังงานลงจะถูกกักไว้บริเวณกับดัก ก่อให้เกิดบริเวณ color center หรือ F-center แสดงดังแผนผังโครงสร้างแถบพลังงานของ  $\text{BaFBr:Eu}^{+2}$  ตามภาพที่ 9 เมื่อสารเรืองแสงได้รับการถ่ายโอนพลังงานจากบริเวณรังสี บริเวณแถบวาเลนซ์จะเกิดการไอออนไนซ์ของ  $\text{Eu}^{2+}$  เป็นไอออนบวก ( $\text{Eu}^{3+}$ ) อิเล็กตรอนจะถูกยกระดับพลังงานขึ้นสู่บริเวณแถบนำ ก่อให้เกิดคู่ของเอ็กซิตอนขึ้น ปริมาณคู่ของเอ็กซิตอนจะขึ้นอยู่กับปริมาณรังสีที่ตกกระทบสารเรืองแสง การยกระดับพลังงานของอิเล็กตรอนเกิดขึ้นได้ 2 ลักษณะ คือ อิเล็กตรอนที่มีระดับพลังงานต่ำกว่า 6.5 eV จะยกระดับขึ้นสู่สถานะพักชั่วคราว และจะกลับสู่สถานะพื้น ปล่อยแสงเรืองทันทีโดยคืนสถานะของไอออน  $\text{Eu}^{+3}$  เป็น  $\text{Eu}^{+2}$  ดังเดิม ขณะที่อิเล็กตรอนส่วนที่มีพลังงานสูงกว่า 6.5 eV จะถูกยกระดับถึงบริเวณแถบนำและลดระดับพลังงานสู่บริเวณกับดักอิเล็กตรอนถูกกักไว้ก่ให้เกิดบริเวณ F-center เป็นการบันทึกผลของปริมาณรังสี



ภาพที่ 9 แผนผังโครงสร้างแถบพลังงานของ BaFBr:Eu<sup>+2</sup>

ที่มา: Curry *et al.* (1990)

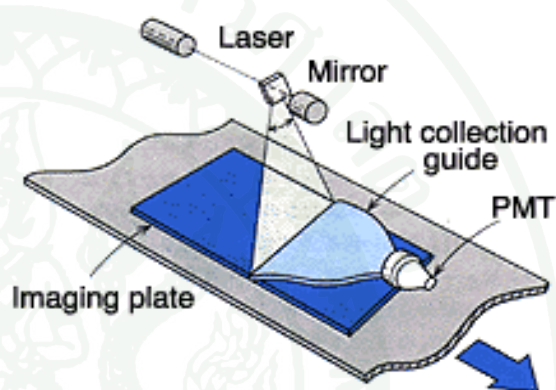
### 3. หลักในการอ่านแผ่นบันทึกภาพ

แผ่นบันทึกภาพที่ผ่านการบันทึกพลังงานแล้วสามารถนำมาอ่านข้อมูลปริมาณพลังงานด้วยเครื่องสแกนข้อมูล โดยกระตุ้นด้วยลำแสงเลเซอร์ (photostimulated luminescence: PSL) ที่มีความยาวคลื่นประมาณ 630 นาโนเมตร ซึ่งมีปลายลำแสงขนาด 50-100 ไมโครเมตร ลำแสงจะถูกสแกนบนผิวแผ่นบันทึกภาพ เพื่อกระตุ้นปริมาณอิเล็กตรอนที่กักเก็บไว้บริเวณ F-Center ให้หลุดสู่ระดับพื้นและปลดปล่อยปริมาณแสงที่มีความเข้มเป็นสัดส่วนกับปริมาณพลังงานตามบริเวณต่างๆ ของภาพแฝงซึ่งแสงที่ปลดปล่อยออกมาจะวัดความเข้มของแสงโดยใช้หลอดโฟโตมัลติฟลายเออร์ (Photomultiplier tube: PMT) การอ่านความเข้มของแสงที่เปล่งออกมา สามารถปรับค่าความละเอียดได้ตั้งแต่ 5 ถึง 40 pixels/mm ช่วงของความไวของสี (sensitivity range) และความไวในการอ่าน (reading sensitivity) สามารถปรับค่าได้ แสงจาก PSL ที่เปล่งออกมาอยู่ในช่วงแสงสีน้ำเงินม่วง (400 nm) จะถูกอ่านและส่งไปยัง PMT เมื่อแปลงเป็นสัญญาณไฟฟ้าแล้ว จะถูกเปลี่ยนจากสัญญาณแอนะล็อกเป็นดิจิทัล ซึ่งปรับค่าได้ระหว่าง 8 – 16 bit ซึ่งสัญญาณภาพจากการวัดปริมาณแสงจะได้รับการประมวลผลด้วยคอมพิวเตอร์ (Miyahara, 1987; Mori and Hama, 1994) แสดงภาพ 2 มิติทางจอภาพ โดยมีโปรแกรมสำหรับใช้ควบคุมการอ่านแผ่นบันทึกภาพ ของเครื่องสแกนอ่านภาพ

ซึ่งสามารถปรับค่าต่างๆ เช่น ความละเอียดได้ตามความสามารถของเครื่องสแกนอ่านภาพในแต่ละรุ่น และเมื่อใช้โปรแกรมสำหรับวิเคราะห์ภาพที่ได้จากการอ่านแผ่นบันทึกภาพจากเครื่องสแกนอ่านภาพ มีความสามารถหลายๆ อย่าง เช่น กำหนดบริเวณของภาพที่ต้องการนับวัด (ROI) หรือวิเคราะห์หาสัดส่วนของ PSL ที่จุดต่างๆ ของภาพ วิเคราะห์หาปริมาณ PSL ที่ได้จากภาพ ซึ่งภาพที่ได้สามารถประยุกต์ใช้ในการวัดปริมาณพลังงาน โดยแสดงรายละเอียดของปริมาณรังสีแต่ละจุดบนภาพได้



(ก)



(ข)

**ภาพที่ 10** เครื่องสแกนอ่านภาพ (ก) และการสแกนเพื่ออ่านภาพตามปริมาณพลังงานจากแผ่นบันทึกภาพ (ข)

#### 4. กระบวนการลบแผ่นบันทึกภาพ

การลบแผ่นบันทึกภาพ ทำได้โดยใช้เครื่องลบภาพ ซึ่งทำหน้าที่ในการลบข้อมูลปริมาณพลังงานที่ถูกบันทึกไว้อยู่บนแผ่นบันทึกภาพให้หมดไปด้วยการฉายแสงความเข้มสูงซึ่งมีความยาวคลื่นในช่วงตบสนองของสายตา (visible light) จากหลอดโซเดียมความดันสูง (high pressure sodium lamp) หรือหลอดฟลูออเรสเซนต์ที่มีการกรองแสงในช่วงคลื่นอุลตราไวโอเล็ต (UV) ออกแล้ว ซึ่งการลบข้อมูลปริมาณพลังงานจะใช้เวลาประมาณ 5 – 10 นาที หรือสั้นกว่านั้นขึ้นอยู่กับความเข้มแสงที่ใช้ ซึ่งแผ่นบันทึกภาพที่ถูกลบด้วยเครื่องลบภาพแล้ว สามารถนำกลับมาใช้ใหม่ได้

## 5. ตลับบรรจุแผ่นบันทึกภาพที่ใช้สำหรับการฉายรังสี (Exposure)

ในการนำแผ่นบันทึกภาพไปทดลองฉายรังสีด้วยวิธีต่างๆ ต้องใช้ตลับที่มีลักษณะเป็นกรอบโลหะเบาทึบแสง ที่มีลักษณะดังภาพที่ 11 เนื่องจากแผ่นบันทึกภาพมีลักษณะอ่อนและไวต่อแสง ดังนั้น ในการทดลองครั้งนี้ จึงต้องใช้ตลับดังกล่าว เพื่อให้สามารถหีบจับและจัดวางแผ่นในแนวตั้งฉากกับสนามรังสีได้ อีกทั้งเพื่อป้องกันแสงสว่างไม่ให้ตกกระทบแผ่นบันทึกภาพ



ภาพที่ 11 ตลับบรรจุแผ่นบันทึกภาพ

### ความไม่แน่นอนของการวัด

ความไม่แน่นอนของการวัด คือ พารามิเตอร์ที่รวมมากับผลของการวัดที่บอกลักษณะการกระจายของค่า ซึ่งสามารถอ้างได้อย่างสมเหตุสมผลว่าเป็นของปริมาณที่ถ่วงน้ำหนัก (JCGM, 2008)

### สถิติสำหรับการประเมินความไม่แน่นอน

ค่าเฉลี่ย (Arithmetic mean or average)

$$\bar{q} = \frac{1}{n} \sum_{k=1}^n q_k \quad (2)$$

ส่วนเบี่ยงเบนมาตรฐานของการทดลอง (Experimental standard deviation)

$$s(q_k) = \sqrt{\frac{1}{(n-1)} \sum_{k=1}^n (q_k - \bar{q})^2} \quad (3)$$

ส่วนเบี่ยงเบนมาตรฐานของค่ากลางของการทดลอง (Experimental standard deviation of mean, ESDM)

$$s(\bar{q}) = \frac{s(q_k)}{\sqrt{n}} \quad (4)$$

ความไม่แน่นอน

$$u(x_i) = s(\bar{q}) \quad (5)$$

GUM (1995) ระบุว่าความไม่แน่นอนของการวัด สามารถแบ่งออกตามพื้นฐานของวิธีการประเมิน ดังนี้

1. ความไม่แน่นอนมาตรฐาน (Standard Uncertainty) ความไม่แน่นอนของการวัดที่แสดงในรูปของส่วนเบี่ยงเบนมาตรฐาน
2. การประเมิน Type A (Type A evaluation) การประเมินความไม่แน่นอนโดยการวิเคราะห์ทางสถิติของอนุกรมการสังเกต
3. การประเมิน Type B (Type B evaluation) การประเมินความไม่แน่นอนโดยวิธีอื่นนอกจากการวิเคราะห์ทางสถิติของอนุกรมการสังเกต

ความไม่แน่นอนมาตรฐาน  $u(x_i)$  ของค่าประมาณอินพุต  $x_i$  ที่ไม่ใช่ผลของการวัดซ้ำๆ กัน สามารถประเมินได้จากการตัดสินใจในเชิงวิทยาศาสตร์ โดยใช้พื้นฐานของข้อมูลที่เป็นไปได้ของความแปรผันของ  $x_i$  ซึ่งรวมไปถึง

- ข้อมูลการวัดที่ผ่านมาแล้ว
- ความชำนาญหรือความรู้เกี่ยวกับลักษณะนิสัยของเครื่องมือ หรือวัสดุ
- ข้อกำหนดจำเพาะของผู้ผลิต
- ข้อมูลในใบรับรองการสอบเทียบ
- ความไม่แน่นอนที่กำหนดไว้ในข้อมูลที่ต้องการจาก handbook

การแจกแจงแบบปกติ (Normal distribution)

กรณี  $x_i$  มีสมมติฐานเป็นการแจกแจงแบบปกติ เมื่อ  $u(x_i)$  ประเมินจากความไม่แน่นอนของ  $x_i$  ที่รายงานในรูปที่เป็นเปอร์เซ็นต์ระดับความเชื่อมั่น

$$u(x_i) = \frac{u}{k} \quad (6)$$

การแจกแจงแบบสี่เหลี่ยมผืนผ้า (Rectangular distribution)

กรณี  $x_i$  มีสมมติฐานเป็นการแจกแจงแบบสี่เหลี่ยมผืนผ้า เมื่อ  $u(x_i)$  ประเมินจากความน่าจะเป็นที่ค่าของ  $x_i$  จะอยู่ในช่วงขีดจำกัดบนและขีดจำกัดล่างที่กำหนด โดยโอกาสที่  $x_i$  จะอยู่นอกขีดจำกัดเป็นศูนย์

ถ้าให้ช่วงความน่าจะเป็นของ  $x_i$  อยู่ระหว่าง  $a_-$  ถึง  $a_+$  เมื่อความแตกต่างระหว่าง  $a_-$  ถึง  $a_+ = 2a$

$$u(x_i) = \frac{(a_- - a_+)}{2\sqrt{3}} \quad (7)$$

$$u(x_i) = \frac{a}{\sqrt{3}} \quad (8)$$

4. ความไม่แน่นอนมาตรฐานรวม (Combined standard uncertainty) ความไม่แน่นอนมาตรฐานของผลการวัดที่ได้จากค่าของปริมาณหนึ่งเท่ากับรากที่สองที่เป็นบวกของผลบวกของเทอมที่เป็น covariance หรือ incovariance ของปริมาณเหล่านั้น ที่ได้รับการ weight ตามการเปลี่ยนแปลงของผลการวัดต่อการเปลี่ยนแปลงของปริมาณเหล่านี้

$$u_c^2(y) = \sum_{i=1}^N c_i^2 u^2(x_i) + 2 \sum_{i=1}^{N-1} \sum_{j=i+1}^N c_i c_j u(x_i) u(x_j) r(x_i, x_j) \quad (9)$$

5. ความไม่แน่นอนขยาย (Expanded uncertainty) ปริมาณที่กำหนดช่วงรอบๆ ผลการวัดที่อาจหวังได้ว่า ครอบคลุมส่วนใหญ่ของการแจกแจงของค่าที่สามารถจะเป็นตัวแทนของปริมาณที่ถูกต้อง

$$U = k u_c(y) \quad (10)$$

6. Coverage factor (k) ตัวประกอบที่เป็นตัวเลขใช้เป็นตัวคูณความไม่แน่นอนมาตรฐานรวม เพื่อให้ได้ความไม่แน่นอนขยาย

## อุปกรณ์และวิธีการ

### อุปกรณ์

1. ระบบวัดแบบอิมเมจิงเพลต ของบริษัทฟูจิฟิล์ม ประเทศญี่ปุ่น (ภาพที่ 12) ประกอบด้วย



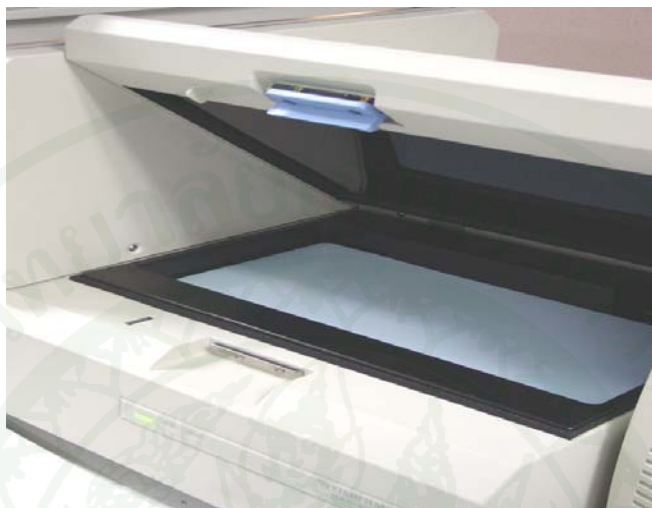
ภาพที่ 12 ระบบวัดแบบอิมเมจิงเพลต

- 1.1 แผ่นบันทึกภาพรุ่น BAS-MS2040 S/N S20260590 ตัวแผ่นเป็นสีขาว ขนาดความกว้าง 20 เซนติเมตร ยาว 40 เซนติเมตรมีความไวในการตอบสนองสูง (ภาพที่ 13)



ภาพที่ 13 แผ่นบันทึกภาพรุ่น BAS-MS2040

1.2 เครื่องสแกนอ่านภาพ BAS-2500 (ภาพที่ 14)



ภาพที่ 14 เครื่องสแกนอ่านภาพ BAS-2500

1.3 เครื่องลบภาพ (ภาพที่ 15)

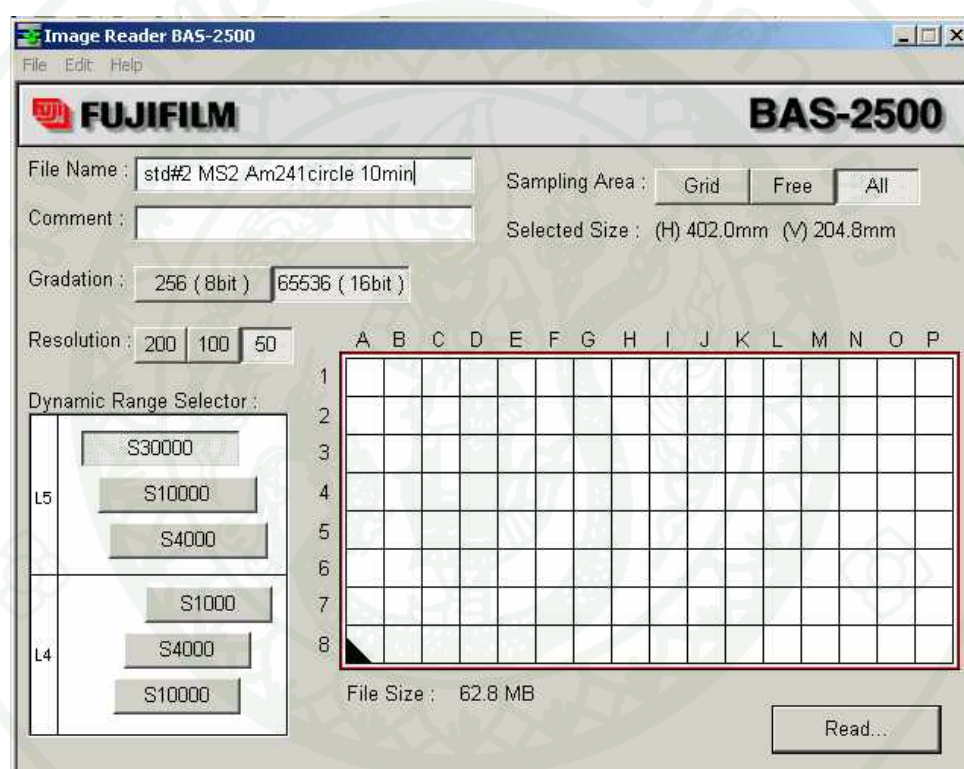


ภาพที่ 15 เครื่องลบภาพ

1.4 ตลับบรรจุแผ่นบันทึกภาพ (BAS CASSETTE 2040) ขนาดความกว้าง 22.5 เซนติเมตร ยาว 42.5 เซนติเมตร (ภาพที่ 11)

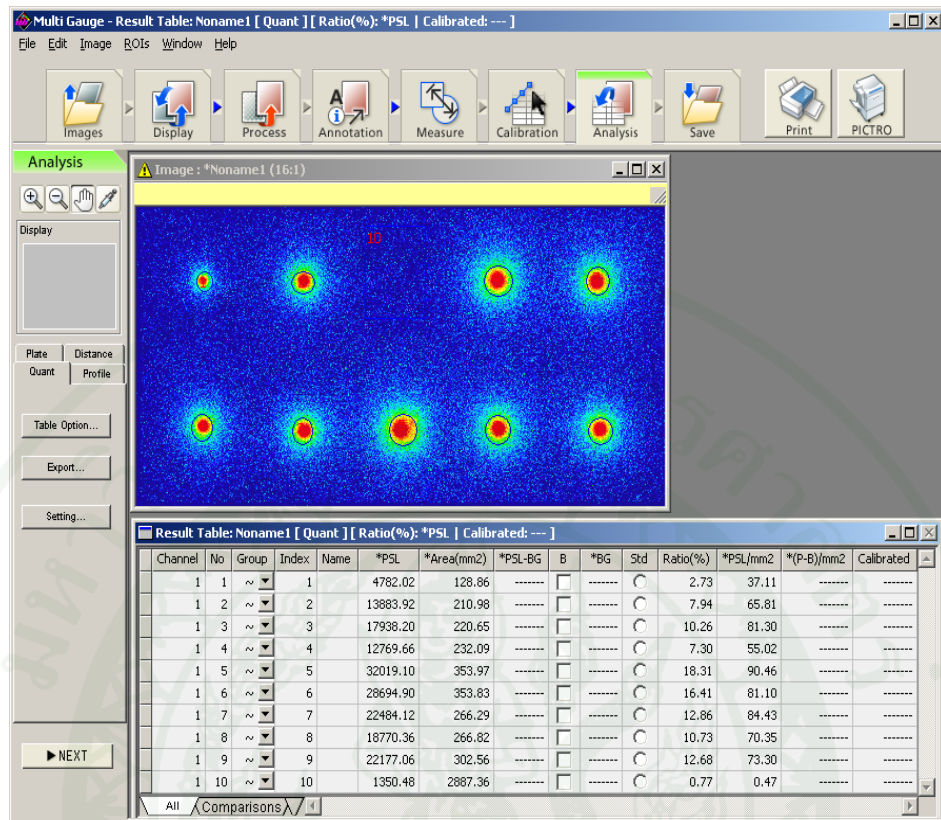
1.5 ไมโครคอมพิวเตอร์

1.6 โปรแกรม Image Reader BAS-2500 (ภาพที่ 16)



ภาพที่ 16 โปรแกรม Image Reader BAS-2500

1.7 โปรแกรมที่ใช้ในการวิเคราะห์ผลการอ่านจากโปรแกรม Image Reader BAS-2500 (ภาพที่ 17)



ภาพที่ 17 โปรแกรมวิเคราะห์ภาพ

2. เครื่องฉายรังสี OB85 บรรจุวัสดุกัมมันตรังสี  $^{137}\text{Cs}$  ความแรงรังสี 740 GBq เมื่อวันที่ 13 พฤษภาคม 2530 พร้อมระบบควบคุมเวลา (ภาพที่ 18)



ภาพที่ 18 เครื่องฉายรังสี OB85 (ภาพถ่าย) และระบบควบคุมเวลา (ภาพขวา)

3. อุปกรณ์จัดวางตำแหน่งอิมเมจิงเพลต ประกอบด้วย กรอบขาตั้งสำหรับวางแผ่นบันทึกภาพ (ภาพที่ 19)

4. ห้องปฏิบัติการวัดรังสีมาตรฐานทุติยภูมิ (SSDL) สำนักงานปรมาณูเพื่อสันติ



ภาพที่ 19 อุปกรณ์จัดวางตำแหน่งแผ่นบันทึกภาพ ภายในห้องปฏิบัติการวัดรังสีมาตรฐานทุติยภูมิ

5. มาตรฐานรังสีแบบพกพา รุ่น RAD-60S หมายเลข 281258 ซึ่งมีพิสัยในช่วง  $0 \mu\text{Sv}$ – $99.9 \text{ Sv}$  (ภาพที่ 20)



ภาพที่ 20 มาตรฐานรังสีแบบพกพา

6. ถูงนิ้ว

## วิธีการ

ในการทดลองเพื่อวัดและประเมินค่าการกระเจิงของระดับรังสีแกมมาอ้างอิงในห้องปฏิบัติการวัดรังสีมาตรฐานทุติยภูมิ (SSDL) ด้วยระบบวัดแบบอิมเมจิงเพลต ได้แบ่งการทดลองออกเป็น 6 การทดลองย่อย ดังนี้

### 1. การศึกษาสภาวะที่เหมาะสมสำหรับการใช้แผ่นบันทึกภาพเพื่อวัดระดับรังสี

การทดลองนี้มีวัตถุประสงค์เพื่อหาสภาวะที่เหมาะสมสำหรับการใช้แผ่นบันทึกภาพเพื่อวัดระดับรังสี โดยศึกษาปัจจัยที่สำคัญ ได้แก่ระยะเวลาในการลบแผ่นบันทึกภาพ และระยะเวลาในการวางแผ่นบันทึกภาพเพื่อวัดระดับรังสีพื้นหลัง และระดับรังสีในห้องฉายรังสี มีวิธีการดังนี้

1.1 นำแผ่นบันทึกภาพมาลบสัญญาณ ด้วยเครื่องลบภาพ เป็นเวลา 5 นาที โดยใส่ถุงนิ้วระหว่างการทำงาน ห้ามจับแผ่นบันทึกภาพขณะไม่มีถุงนิ้วเพราะจะทำให้เกิดรอยนิ้วมือ และอาจทำให้แผ่นบันทึกภาพเสียได้ การจับแผ่นบันทึกภาพต้องระวังอย่าทำแผ่นบันทึกภาพงอ (Fujifilm, 1995) จะทำให้ผลึก บนแผ่นบันทึกภาพแตกได้

1.2 นำแผ่นบันทึกภาพ ดังกล่าวมาอ่านด้วยเครื่องสแกนอ่านภาพ โดยใช้โปรแกรม Image Reader BAS-2500 ซึ่งจะใช้เวลาในการอ่านประมาณ 4 นาที

1.3 นำข้อมูลที่เครื่องอ่านได้มากำหนดพื้นที่ขนาด  $200 \text{ mm}^2$  เรียงต่อกันตลอดความยาวของแผ่นบันทึกภาพ  $420 \text{ mm}$  ได้จำนวน 20 ช่องวัด กำหนดบริเวณของภาพที่ต้องการนับวัด (ROI) ตามวิธีการของ Saze and Nishizawa (2003) แล้วนำค่านับวัดที่ได้จาก ROI มานับวัดค่าของภาพ โดยคำนวณหาค่า  $\text{PSL}/\text{mm}^2$  ในแต่ละพื้นที่

1.4 วางแผ่นบันทึกภาพในตลับบรรจุแผ่นบันทึกภาพนำไปวัดระดับรังสีพื้นหลัง และระดับรังสีแกมมาของต้นกำเนิดรังสี  $^{137}\text{Cs}$  ในห้องฉายรังสีที่ระยะ 5 เมตร เป็นเวลา 1 นาที แล้วนำแผ่นบันทึกภาพดังกล่าว มาอ่านด้วยเครื่องอ่านสแกนอ่านภาพ และคำนวณหาค่า  $\text{PSL}/\text{mm}^2$  ในแต่ละพื้นที่

1.5 ดำเนินการตามข้อ 1.1 – 1.4 แต่เปลี่ยนระยะเวลาอบแผ่นบันทึกภาพเป็น 10 นาที และระยะเวลาในการวางแผ่นเพื่อวัดระดับรังสีพื้นหลังและระดับรังสีในห้องฉายรังสี เป็น 5 นาที เพื่อหาระยะเวลาที่เหมาะสมสำหรับการใช้แผ่นบันทึกภาพเพื่อวัดระดับรังสีต่อไป

1.6 นำค่า PSL/mm<sup>2</sup> ที่ได้ในแต่ละการทดลอง สรุปผล และประเมินผลความคงที่ เพื่อนำผลที่ได้ไปใช้ในการสอบเทียบระบบวัดแบบอิมเมจิงเพลต

## 2. ตรวจสอบความคงที่ของระบบวัดแบบอิมเมจิงเพลต

การทดลองนี้มีวัตถุประสงค์เพื่อศึกษาความคงที่ของระบบวัดแบบอิมเมจิงเพลต ตลอดระยะเวลาที่ทำการทดลอง โดยทำการวัดเดือนละครั้ง ครั้งละ 5 ชั่วโมง เป็นเวลา 3 เดือน โดยใช้สภาวะที่เหมาะสมที่ได้จากการทดลองที่ 1 คำนวณหาค่า PSL/mm<sup>2</sup> ในแต่ละพื้นที่ นำผลที่ได้มาประเมินความคงที่ของระบบวัด

## 3. การสอบเทียบระบบวัดแบบอิมเมจิงเพลต

การทดลองนี้มีวัตถุประสงค์เพื่อหาการตอบสนองของแผ่นบันทึกภาพต่อปริมาณรังสี มีวิธีการดังนี้

3.1 นำแผ่นบันทึกภาพวางในตลับบรรจุแผ่นบันทึกภาพ ที่ลบสัญญาณ ด้วยเครื่องลบภาพเป็นเวลา 10 นาที ทำการวัดค่าปริมาณรังสีต่างๆ กัน ซึ่งคำนวณปริมาณรังสีโดยอ้างอิงกับระดับรังสีมาตรฐานของ SSDL จากนั้น นำค่า PSL/mm<sup>2</sup> ที่ได้ กับปริมาณรังสี (mR) มาเขียนกราฟความสัมพันธ์ ตามวิธีของ Mouhssine *et al.* (2004) ซึ่งจะได้ค่า Calibration Factor (C.F.) มีหน่วยเป็น mR PSL<sup>-1</sup> mm<sup>2</sup> จากความชันของกราฟที่ได้ตามสมการที่ (11)

$$\text{จากสมการเส้นตรง} \quad Y = aX + b \quad (11)$$

เมื่อ a คือ ความชันของกราฟ  
b คือ จุดตัดแกน (intercept)

X คือ PSL/mm<sup>2</sup>

Y คือ ปริมาณรังสี (mR)

3.2 ทำการประเมินค่าความไม่แน่นอนของ C.F. ตามสมการ (12) (Pimpl, 2007)

$$u_y = \sqrt{\frac{\sum_{i=1}^n (\hat{Y}_i - Y_i)^2}{n-2}} \quad (12)$$

เมื่อ  $Y_i$  คือ ปริมาณรังสีโดยอ้างอิงกับระดับรังสีมาตรฐานของ SSDL

$\hat{Y}_i$  คือ ค่าเฉลี่ยปริมาณรังสีที่ได้มาจาก Calibration curve

n คือ จำนวนครั้งในการทดลอง

#### 4. ศึกษาความถูกต้องของการวัดระดับรังสีแกมมา ด้วยระบบวัดแบบอิมเมจิงเพลต

การทดลองนี้มีวัตถุประสงค์เพื่อนำแผ่นบันทึกภาพที่ผ่านการสอบเทียบแล้วมาวัดอัตราปริมาณรังสี (dose rate) ในหน่วย mR/h เปรียบเทียบกับระดับรังสีมาตรฐานของห้อง SSDL มีวิธีการดังนี้

4.1 ทำการทดลองเช่นเดียวกับขั้นตอนที่ 1 แต่ทำการวัดอัตราปริมาณรังสี 2 ระดับ ที่ประมาณ 100 mR/h และ 1 R/h โดยใช้ attenuator เพื่อให้ได้อัตราปริมาณรังสีดังกล่าว แล้วทำการฉายรังสีให้แผ่นบันทึกภาพเป็นเวลา 1 นาที และทำการวัดซ้ำ 5 ครั้ง

4.2 นำค่า PSL/mm<sup>2</sup> ที่ได้แก่ค่า C.F. เพื่อคำนวณอัตราปริมาณรังสี (mR/h) และเปรียบเทียบค่าที่ได้จากระบบวัดแบบอิมเมจิงเพลต กับระดับรังสีมาตรฐานของห้อง SSDL โดยประเมินจากค่าร้อยละของความคลาดเคลื่อน

## 5. วัดการกระเจิงของระดับรังสีแกมมาอ้างอิงภายในห้อง SSDL

ห้อง SSDL มีขนาดกว้าง 4.5 เมตร ยาว 10 เมตรจะประกอบไปด้วยเครื่องฉายรังสี 3 เครื่อง ได้แก่เครื่องฉายรังสีรุ่น OB85 ที่บรรจุวัสดุกัมมันตรังสี  $^{137}\text{Cs}$  และ  $^{60}\text{Co}$  เครื่องฉายรังสี รุ่น OB26 ที่บรรจุวัสดุกัมมันตรังสี  $^{241}\text{Am-Be}$  และเครื่องฉายรังสี รุ่น OB34 ที่บรรจุวัสดุกัมมันตรังสี  $^{137}\text{Cs}$  และ  $^{60}\text{Co}$  และวัสดุกัมมันตรังสี  $^{241}\text{Am}$  ซึ่งมีความแรงรังสี รายละเอียดแสดงดังตารางที่ 1

การทดลองนี้มีวัตถุประสงค์เพื่อวัดการกระเจิงของระดับรังสีแกมมาอ้างอิงจากต้นกำเนิดรังสี  $^{137}\text{Cs}$  ของเครื่องฉายรังสี OB85 ภายในห้อง SSDL ณ จุดต่างๆ ตามที่ได้กำหนดไว้ มีวิธีการดังนี้

5.1 ทำการศึกษาขั้นต้นเพื่อหาระยะแนวลำรังสีที่ระยะ 1 และ 2 เมตรโดยใช้แผ่นบันทึกภาพวัดที่ระยะดังกล่าว จากนั้นจึงกำหนดจุดวัดต่างๆ ภายในห้อง SSDL โดยกำหนดจุดในบริเวณที่มีการกระเจิงของรังสีแกมมา และบริเวณลำรังสี แสดงดังภาพที่ 21

5.2 วัดการกระเจิงของระดับรังสีแกมมาอ้างอิง ทุกตำแหน่งที่กำหนดในข้อ 5.1 ทำการอ่านผลและบันทึกค่า PSL/mm<sup>2</sup>

5.3 คำนวณหาระดับการกระเจิงของรังสี (mR/h) จากผลการวัดหาค่า PSL/mm<sup>2</sup> ในข้อ 5.2 โดยใช้ค่า C.F. ที่ได้จากขั้นตอนที่ 3 โดยเทียบกับเวลาที่ใช้ในการฉายแผ่นบันทึกภาพ และนำข้อมูลที่ได้มาสร้างแผนภาพ 3 มิติ แสดงระดับการกระเจิงของรังสีภายในห้อง SSDL

5.4 วิเคราะห์ และสรุปผลการวัดการกระเจิง โดยใช้ค่าเบี่ยงเบนมาตรฐาน จากนั้นประเมินค่าความไม่แน่นอนของการวัด จากแหล่งความไม่แน่นอนต่างๆ

## 6. การนำระดับรังสีกระเจิงที่ได้จากการทดลองไปใช้งานจริง

การทดลองนี้มีวัตถุประสงค์เพื่อตรวจสอบระดับกระเจิงของรังสีแกมมาที่ได้จากการใช้ระบบวัดแบบอิมเมจิงเพลต และนำระดับรังสีกระเจิงที่ได้ไปใช้เป็นค่าอ้างอิงสำหรับงานสอบเทียบเครื่องสำรวจรังสี และมาตรรังสีแบบพกพา โดยไม่จำเป็นต้องจัดวางในสนามรังสีของห้อง SSDL โดยนำมาตรรังสีแบบพกพา (Pocket dosimeter) ที่ผ่านการสอบเทียบจากห้อง SSDL วัดค่าปริมาณรังสีกระเจิงที่  $100\mu\text{Sv}$  ณ พิกัดต่างๆ มีวิธีการดังนี้

6.1 นำมาตรรังสีแบบพกพา รุ่น RAD-60S ซึ่งมีพิสัยในช่วง  $0\ \mu\text{Sv} - 99.9\ \text{Sv}$  มาทำการสอบเทียบจากห้อง SSDL โดยฉายรังสีที่ปริมาณรังสีมาตรฐานอ้างอิง  $100\ \mu\text{Sv}$  ซึ่งจะได้ค่า C.F. ของมาตรรังสีแบบพกพา จากความชันของกราฟความสัมพันธ์ของปริมาณรังสีมาตรฐานอ้างอิงกับค่าที่อ่านได้จากมาตรรังสีแบบพกพา และความไม่แน่นอน C.F. สำหรับมาตรรังสีแบบพกพา

6.2 นำมาตรรังสีแบบพกพาที่ผ่านการสอบเทียบแล้ว มาวัดระดับรังสีกระเจิงที่ปริมาณรังสีกระเจิง  $100\ \mu\text{Sv}$  ณ พิกัดดังภาพที่ 22 โดยใช้ระยะเวลาในการฉายรังสีแตกต่างกัน เพื่อให้ได้ปริมาณรังสีกระเจิง เท่ากันทุกพิกัด

6.3 นำค่าปริมาณรังสีสมมูล (dose equivalent) ที่อ่านได้จากมาตรรังสีแบบพกพา มาเปรียบเทียบกับค่าระดับรังสีในแนวกระเจิงที่ใช้โดยแปลงค่าจาก mR ให้เป็น mSv ตามสมการที่ (13) และ (14) โดยนำค่าที่อ่านได้จากมาตรรังสีแบบพกพา ( $\mu\text{Sv}$ ) แก่ค่าด้วย C.F. ของมาตรรังสีแบบพกพา เปรียบเทียบและประเมินผลค่าที่วัดได้จากร้อยละความคลาดเคลื่อน

$$1R = 8.76E-03\ \text{Gy}\ (\text{IAEA}, 2009) \quad (13)$$

$$\text{Hp}\ (10)/\text{Ka}\ (\text{Sv}/\text{Gy}) = 1.21\ (\text{IAEA}, 2000) \quad (14)$$





## ผลและวิจารณ์ผล

ในการวัดและประเมินค่าการกระเจิงของระดับรังสีแกมมาอ้างอิงในห้องปฏิบัติการวัดรังสีมาตรฐานทุติยภูมิ (SSDL) ด้วยระบบวัดแบบอิมเมจิงเพลต จากการทดลองทั้งสิ้น 6 ชั้นตอน แสดงผลดังต่อไปนี้

### 1. การศึกษาสภาวะที่เหมาะสมสำหรับการใช้แผ่นบันทึกภาพเพื่อวัดระดับรังสี

จากการศึกษาสภาวะที่เหมาะสมสำหรับการใช้แผ่นบันทึกภาพเพื่อวัดระดับรังสี โดยดำเนินการศึกษาปัจจัยเรื่องระยะเวลาในการทำงานแต่ละชั้น โดยนำแผ่นบันทึกภาพลบสัญญาณด้วยเครื่องลบภาพเป็นเวลา 5 นาที แล้วนำแผ่นบันทึกภาพดังกล่าวมาอ่านด้วยเครื่องสแกนอ่านภาพ และกำหนดขนาดพื้นที่ขนาด  $200 \text{ mm}^2$  เรียงต่อกันตลอดความยาวของอิมเมจิงเพลตจำนวน 20 ช่องวัด แล้วนำแผ่นบันทึกภาพไปวางเพื่อวัดระดับรังสีในห้องฉายรังสี และระดับรังสีพื้นหลังที่ระยะ 5 เมตรเป็นเวลา 1 นาที หลังจากนั้นเปลี่ยนระยะเวลาในการลบแผ่นบันทึกภาพเป็นเวลา 10 นาที และระยะเวลาในการวางแผ่นบันทึกภาพเพื่อวัดระดับรังสีพื้นหลัง และระดับรังสีในห้องฉายรังสีเป็นเวลา 5 นาที ตามลำดับนั้น เพื่อนำข้อมูลที่ได้นำไปใช้ในงานวิจัยในด้านการวัดระดับรังสีด้วยระบบวัดรังสีแบบอิมเมจิงเพลต ผลที่ได้แสดงดังตารางที่ 2 และตารางผนวกที่ 1

**ตารางที่ 2** ผลการศึกษาปัจจัยเรื่องระยะเวลาในการลบแผ่นบันทึกภาพ และระยะเวลาในการวางแผ่นบันทึกภาพเพื่อวัดระดับรังสีพื้นหลัง และระดับรังสีในห้องฉายรังสีที่พิกัด 5,2.25

เวลาฉาย	ครั้งที่	PSL/mm <sup>2</sup> ในห้องฉายรังสี		PSL/mm <sup>2</sup> ของรังสีพื้นหลัง	
		ลบ 5 นาที	ลบ 10 นาที	ลบ 5 นาที	ลบ 10 นาที
0	1	0.13	0.13	0.13	0.13
	2	0.13	0.14	0.13	0.14
	3	0.14	0.13	0.14	0.13
	Mean	0.13	0.13	0.13	0.13
	%CV	4.33	4.33	4.33	4.33

ตารางที่ 2 (ต่อ)

เวลาฉาย	ครั้งที่	PSL/mm <sup>2</sup> ในห้องฉายรังสี		PSL/mm <sup>2</sup> ของรังสีพื้นหลัง	
		ลบ 5 นาที	ลบ 10 นาที	ลบ 5 นาที	ลบ 10 นาที
1	1	32.01	31.37	0.21	0.15
	2	33.07	31.64	0.20	0.14
	3	32.05	31.31	0.19	0.15
	Mean	32.38	31.44	0.20	0.15
	%CV	1.86	0.56	5.00	3.94
5	1	159.50	153.22	1.01	0.82
	2	162.53	151.30	0.95	0.85
	3	156.55	152.39	0.90	0.89
	Mean	159.53	152.30	0.95	0.85
	%CV	1.87	0.63	5.78	4.12

ค่า PSL/mm<sup>2</sup> ของรังสีพื้นหลังในห้อง SSDL มีค่าประมาณ 0.16 PSL/mm<sup>2</sup> ที่พิกัดต่างๆ เมื่อคำนวณความไม่แน่นอนของการวัด ดังสมการ ที่ (3) – (6) พบว่า มีความไม่แน่นอนของการวัดสัมพัทธ์ประมาณประมาณ  $\pm 5\%$  เทียบกับค่า PSL/mm<sup>2</sup> เฉลี่ย สำหรับแต่ละพิกัด

จากตารางที่ 2 เมื่อใช้ระยะเวลาในการลบแผ่นบันทึกภาพนานขึ้นเป็น 10 นาที ค่า PSL/mm<sup>2</sup> มีค่าน้อยลงเมื่อเปรียบเทียบกับการใช้ระยะเวลาในการลบแผ่น 5 นาที แสดงว่าเมื่อเวลาในการลบมากขึ้นจะสามารถลบสัญญาณแผ่บนแผ่นบันทึกภาพได้ดีกว่า

เมื่อใช้ระยะเวลาในการวางแผ่นบันทึกภาพเพื่อวัดระดับรังสีในห้องฉายรังสี และระดับรังสีพื้นหลังเพิ่มขึ้นเป็น 5 นาที พบว่า สำหรับการลบแผ่นบันทึกภาพ 5 นาที ระยะเวลาในการวางแผ่นบันทึกภาพที่ 1 นาที มีค่าเท่ากับ 32.38 PSL/mm<sup>2</sup>/min และเมื่อวางที่ 5 นาที มีค่า 159.53 PSL/mm<sup>2</sup>/5 min = 159.53/5 = 31.91 PSL/mm<sup>2</sup>/min ซึ่งมีค่าร้อยละความคลาดเคลื่อนประมาณ 1.5% สำหรับการลบแผ่นบันทึกภาพ 10 นาที ระยะเวลาในการวางแผ่นบันทึกภาพที่ 1 นาที มีค่าเท่ากับ 31.44 PSL/mm<sup>2</sup>/min และเมื่อวางที่ 5 นาที มีค่า 152.3 PSL/mm<sup>2</sup>/5 min = 152.3/5 = 30.46 PSL/mm<sup>2</sup>/min ซึ่งมีค่าร้อยละความคลาดเคลื่อนประมาณ 3.1%

จากตารางที่ 2 ทำให้ได้สภาวะที่เหมาะสมสำหรับการใช้แผ่นบันทึกภาพเพื่อวัดระดับรังสีเมื่อศึกษาปัจจัยเรื่องระยะเวลาในการทำงานแต่ละชั้น โดยจะใช้ระยะเวลาในการลบแผ่นบันทึกภาพเป็นเวลา 10 นาที และระยะเวลาในการวางแผ่นบันทึกภาพเพื่อวัดระดับรังสีพื้นหลัง และระดับรังสีในห้องฉายรังสีเป็นเวลา 1 นาที ซึ่งผลที่ได้จะนำไปใช้ในขั้นตอนต่อไป

## 2. ตรวจวัดความคงที่ของระบบวัดแบบอิมเมจิงเพลต

สำหรับงานวิจัยในด้านการวัดระดับรังสีด้วยระบบวัดรังสีแบบอิมเมจิงเพลต ควรควบคุมการฉายและระยะเวลาที่ใช้ในแต่ละชั้นตอน ก่อนการนำไปอ่านผล และทำการวัดความคงที่เป็นประจำตลอดการทดลองเพื่อยืนยันว่าค่าที่วัดได้จากการทดลองมีความน่าเชื่อถือ ตลอดระยะเวลาที่ทำการทดลอง โดยทำการวัดในทุกๆ เดือนที่ทำการทดลองเป็นเวลา 3 เดือน โดยนำแผ่นบันทึกภาพมาลบสัญญาณ ด้วยเครื่องลบภาพ เป็นเวลา 10 นาที ก่อนนำไปฉายรังสี 1 นาที ที่ระยะ 5 เมตร แล้วอ่านผลด้วยเครื่องสแกนอ่านภาพ โดยกำหนดพื้นที่ (ROI) ขนาด  $200 \text{ mm}^2$  เรียงต่อกันตลอดความยาวของแผ่นบันทึกภาพจำนวน 20 ช่องวัด เพื่อคำนวณหาค่า  $\text{PSL}/\text{mm}^2$  ในแต่ละพื้นที่ และทำการวัดซ้ำ 5 ครั้ง โดยทำการวัดเดือนละครั้ง ผลการทดลองแสดงดังตารางที่ 3

ตารางที่ 3 Repeatability ของแผ่นบันทึกภาพ เมื่อทำการวัดที่ระยะ 5 เมตร

ROI	Coordinate (x,y)*	PSL/ $\text{mm}^2$ (n=5)					
		mean % CV		mean % CV		mean % CV	
		ม.ย.	พ.ค.	มิ.ย.			
1	5,2.07	31.31	0.82	31.19	0.94	31.51	0.82
2	5,2.09	31.73	0.83	31.48	0.73	31.92	0.97
3	5,2.11	31.76	0.75	31.44	0.74	31.93	0.55
4	5,2.13	31.65	0.72	31.33	0.72	31.84	0.65
5	5,2.15	31.73	0.66	31.34	0.69	31.81	0.58
6	5,2.17	31.74	0.79	31.31	0.72	31.86	0.82
7	5,2.19	31.81	0.58	31.43	0.85	31.83	0.85

ตารางที่ 3 (ต่อ)

ROI	Coordinate (x,y)*	PSL/mm <sup>2</sup> (n=5)					
		mean % CV		mean % CV		mean % CV	
		เม.ย.	พ.ค.	มิ.ย.			
8	5,2.21	31.78	0.70	31.41	0.87	31.83	0.99
9	5,2.23	31.76	0.92	31.64	0.76	32.21	0.81
10	5,2.25	31.54	1.01	31.70	0.75	32.06	0.84
11	5,2.27	32.05	0.67	31.64	1.01	32.18	0.73
12	5,2.29	31.75	0.91	31.45	0.79	32.11	0.63
13	5,2.31	31.68	0.61	31.39	0.66	31.88	0.57
14	5,2.33	31.38	0.97	31.02	0.92	31.66	0.84
15	5,2.35	31.01	0.88	31.01	0.63	31.42	0.83
16	5,2.37	31.03	0.56	30.82	0.70	31.31	0.58
17	5,2.39	31.32	0.88	31.06	0.69	31.64	0.82
18	5,2.41	31.31	0.82	31.02	0.68	31.53	1.00
19	5,2.43	31.62	0.81	31.36	0.67	31.83	1.02
20	5,2.45	31.38	0.60	31.09	0.62	31.56	0.74
	mean	31.57	0.77	31.31	0.76	31.80	0.78

\* x = ระยะทาง (m) จากต้นกำเนิดรังสี OB85

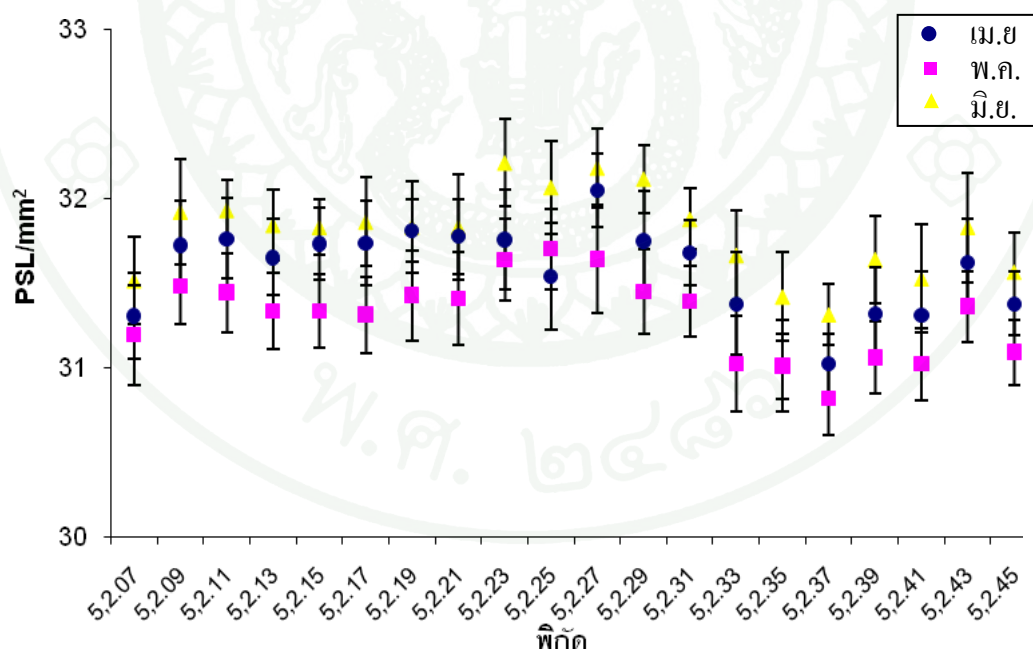
y = ระยะทาง (m) จากผนังด้านขวาจากต้นกำเนิดรังสี OB85 (ดังภาพที่ 21)

จากตารางที่ 3 เมื่อทำการวัดความคงที่ในเดือนเมษายน พบว่าในแต่ละฟิสิกส์ของแผ่นบันทึกภาพ มีค่าเฉลี่ย PSL/mm<sup>2</sup> ในแต่ละฟิสิกส์ไม่แตกต่างกัน และค่าเฉลี่ยระหว่าง PSL/mm<sup>2</sup> ในแต่ละฟิสิกส์กับตลอดทั้งแผ่นของแผ่นบันทึกภาพมีค่าไม่แตกต่างกัน แสดงว่าแผ่นบันทึกภาพมีความสามารถวัดค่าซ้ำได้ดี (Repeatability) และจากค่าสัมประสิทธิ์ความแปรปรวน (%CV) มีค่าประมาณ 1% ซึ่งแสดงให้เห็นว่าแผ่นบันทึกภาพวัดค่าที่ได้อย่างแม่นยำ ในทำนองเดียวกับเดือนพฤษภาคม และมีถุนายน

จากตารางที่ 3 พบว่าค่าเฉลี่ย PSL/mm<sup>2</sup> ในเดือนเมษายน พฤษภาคม และมิถุนายนมีค่า 31.57 31.31 และ 31.80 PSL/mm<sup>2</sup> ตามลำดับ มีค่าไม่แตกต่างกันในแต่ละเดือน และจากค่าสัมประสิทธิ์ความแปรปรวน (%CV) มีค่าประมาณ 0.8% ซึ่งแสดงให้เห็นว่าแผ่นบันทึกภาพวัดค่าที่ได้ได้อย่างแม่นยำ และมีความคงที่ เมื่อมีการควบคุมการฉายและระยะเวลาในแต่ละชั้นคอนกรีตชั้นตอนที่ 1 ก่อนการนำไปอ่านผล

เมื่อคำนวณความไม่แน่นอนของการวัด ดังสมการ ที่ (3) – (6) พบว่าระบบวัดแบบอิมเมจจิงเฟลต มีความไม่แน่นอนของการวัดสัมพัทธ์ประมาณ  $\pm 0.5\%$  เทียบกับค่า PSL/mm<sup>2</sup> เฉลี่ยสำหรับแต่ละฟักัด

เพื่อยืนยันว่าค่าที่วัดได้จากการทดลองมีความน่าเชื่อถือ จึงจำเป็นต้องดำเนินการทดลองเพื่อหาความคงที่ของระบบวัดแบบอิมเมจจิงเฟลตเป็นประจำทุกเดือนตลอดการทดลอง แสดงดังภาพที่ 23

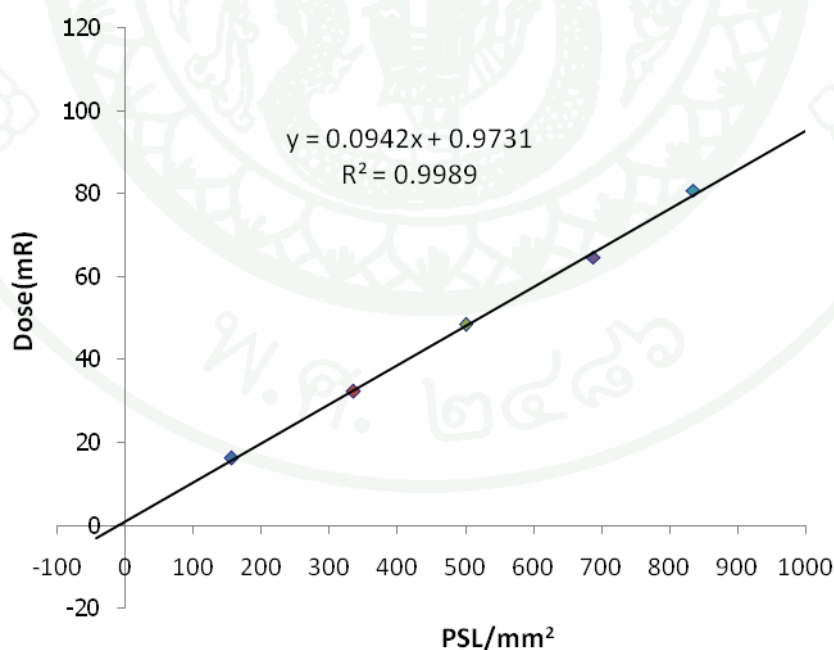


ภาพที่ 23 กราฟแสดงความคงที่ของระบบวัดแบบอิมเมจจิงเฟลตในแต่ละเดือน

จากภาพที่ 23 ระบบวัดแบบอิมเมจิงเฟลตมีความคงที่ตลอดระยะเวลาที่ทำการวัดเดือนละครั้ง เป็นเวลา 3 เดือน ที่พิกัดต่างๆ เมื่อคำนวณความไม่แน่นอนของการวัด ดังสมการ ที่ (3) – (6) พบว่า และมีความไม่แน่นอนของการวัดสัมพัทธ์ประมาณ  $\pm 0.5\%$  เทียบกับค่า PSL/mm<sup>2</sup> เฉลี่ยสำหรับแต่ละพิกัด

### 3. การสอบเทียบระบบวัดแบบอิมเมจิงเฟลต

การสอบเทียบระบบวัดแบบอิมเมจิงเฟลตเพื่อหาการตอบสนองของแผ่นบันทึกภาพแบบอิมเมจิงเฟลต กับปริมาณรังสี โดยนำแผ่นบันทึกภาพวัดค่าปริมาณรังสีต่างๆ กัน ซึ่งคำนวณปริมาณรังสีโดยอ้างอิงกับระดับรังสีมาตรฐานของ SSDL จากนั้น นำค่า PSL/mm<sup>2</sup> ที่ได้ กับปริมาณรังสี (mR) มาเขียนกราฟความสัมพันธ์ตามวิธีของ Mouhssine *et al.* (2004) จะได้ค่า Calibration Factor (C.F.) มีหน่วยเป็น mR PSL<sup>-1</sup> mm<sup>2</sup> ผลแสดงดังกราฟที่ 24 และตารางผนวกที่ 2 และทำการประเมินค่าความไม่แน่นอนของ C.F. ตามสมการ (12) แสดงดังตารางที่ 4



ภาพที่ 24 กราฟแสดงความสัมพันธ์ระหว่างค่า PSL/mm<sup>2</sup> กับปริมาณรังสี (mR)

จากภาพที่ 24 เมื่อใช้แผ่นบันทึกภาพวัดค่าปริมาณรังสีต่างๆ กัน เพื่อหา C.F. พบว่าความสัมพันธ์ระหว่าง PSL/mm<sup>2</sup> กับปริมาณรังสีเป็นไปตาม สมการ  $y = 0.094x + 0.973$  เมื่อ y คือ ปริมาณรังสี (mR) และ x คือค่า PSL/mm<sup>2</sup> จากผลการทดลอง และจากความชันของกราฟทำให้ได้ค่า C.F. สำหรับการสอบเทียบแผ่นบันทึกภาพ สำหรับ Cs-137 มีค่าเป็น  $0.094 \text{ mR PSL}^{-1} \text{ mm}^2$

เมื่อพิจารณาค่า Calibration factor (C.F.) ที่ได้จากการทดลองซึ่งมีค่าเท่ากับ  $0.094 \text{ mR PSL}^{-1} \text{ mm}^2$  หรือมีค่า  $9.96 \times 10^{-4} \text{ mSv PSL}^{-1} \text{ mm}^2$  เมื่อเปรียบเทียบกับงานวิจัยของ Yamadera *et al.* (1995) ที่ได้นำแผ่นบันทึกภาพรุ่น UR ของบริษัทฟูจิวางประกบกับ filter ชนิดต่างๆ และ acrylic slab phantom แล้วฉายรังสีเอ็กซ์ที่ 30 60 80 และ 140 keV และรังสีแกมมา จาก <sup>137</sup>Cs และ <sup>60</sup>Co พบว่าค่า C.F. สำหรับ <sup>137</sup>Cs มีค่า 580 PSL/mm<sup>2</sup>mSv หรือมีค่า  $1.72 \times 10^{-3} \text{ mSv PSL}^{-1} \text{ mm}^2$  เมื่อเปรียบเทียบค่า C.F. ที่ได้จากการทดลอง กับงานวิจัยดังกล่าวพบว่ามีความคลาดเคลื่อนสูงประมาณ 42% อาจเนื่องมาจากวิธีในการสอบเทียบที่ต่างกันรวมทั้งชนิดของแผ่นบันทึกภาพที่แตกต่างกันด้วย

จากภาพที่ 24 พบว่าการตอบสนองต่อรังสีของแผ่นบันทึกภาพเป็นแบบเชิงเส้น ซึ่งสอดคล้องกับงานวิจัยของ Yamadera *et al.* (1995) ที่ได้นำแผ่นบันทึกภาพมาฉายรังสีเอ็กซ์ที่ 30 60 80 และ 140 keV และรังสีแกมมาจาก <sup>137</sup>Cs และ <sup>60</sup>Co และงานวิจัยของ Boukhair *et al.* (2001) ที่ได้นำแผ่นบันทึกภาพ มาใช้ในการวัดนิวตรอนเร็วจากต้นกำเนิดรังสี Pu-Be และ Am-Be และรังสีแกมมาจาก <sup>60</sup>Co โดยพบว่า แผ่นบันทึกภาพมีการตอบสนองต่อทั้งนิวตรอนเร็ว และรังสีแกมมาเป็นอย่างดี เหมาะที่จะนำมาใช้วัดปริมาณรังสีประจำตัวบุคคล

สำหรับค่ารังสีพื้นหลังในห้องฉายรังสี ซึ่งมีค่าประมาณ  $0.15 \text{ PSL/mm}^2$  เมื่อแทนค่าในสมการ  $y = 0.094x + 0.9731$  ได้ค่าเท่ากับ 0.987 มีหน่วยเป็น mR ซึ่งแสดงถึงค่าพื้นฐานที่จะวัดได้ทุกๆ 1 นาที ของการฉายรังสี และเป็นค่าระดับรังสีพื้นหลังในห้องฉายรังสีด้วย

จากการสอบเทียบระบบวัดแบบอิมเมจิงเพลต และได้ค่า C.F. เมื่อทำการประเมินค่าความไม่แน่นอนของ C.F. แล้วจะทำให้ค่าวัดจากระบบวัดแบบอิมเมจิงเพลต สามารถสอบย้อนกลับไปยังค่ามาตรฐานปฐมภูมิได้

สำหรับการประเมินค่าความไม่แน่นอนของการหา C.F. นั้น มีแหล่งของความไม่แน่นอน 8 แหล่ง แสดงดังตารางที่ 4 ซึ่งสามารถอธิบายที่มาได้ ดังนี้

1. ค่าความไม่แน่นอน Repeatability มาจากผลการศึกษาความคงที่ของระบบวัดแบบอิมเมจิงเพลต โดยพิจารณาจากความสามารถในการวัดค่าซ้ำ และคำนวณหาความไม่แน่นอนจากสมการ (3) – (5)

2. ค่าระดับรังสีพื้นหลัง (IAEA, 2000) มาจากส่วนเบี่ยงเบนมาตรฐานของการทดลองวัดระดับรังสีพื้นหลังด้วยแผ่นบันทึกภาพ โดยแสดงค่าที่วัดได้ในหน่วย PSL/mm<sup>2</sup>

3. ค่าของการวัด PSL/mm<sup>2</sup> มาจากความไม่แน่นอนในการอ่านค่า PSL/mm<sup>2</sup> ของเครื่องสแกนอ่านภาพคำนวณจากสมการ (3) – (5)

4. Calibration factor ค่าความไม่แน่นอนคำนวณได้จากสมการ (12)

5. เวลาในการฉายรังสี มาจากความไม่แน่นอนของเครื่องควบคุมเวลาการฉายรังสี จากเวลา 1 วินาที ใน 60 วินาที;  $u(t) = \frac{1}{60} \times 100 = 1.7$

6. ค่าระดับรังสีมาตรฐานจากเครื่องฉายรังสี OB85 ที่ระยะ 6 เมตร มาจากความไม่แน่นอนของระดับรังสีจากต้นกำเนิดรังสี <sup>137</sup>Cs ที่ระยะ 6 เมตร ของห้อง SSDL มีค่า 1.9 ที่ระดับความเชื่อมั่น 95%

7. การจัดวางตำแหน่ง มาจากความไม่แน่นอนในการจัดวางตำแหน่ง 1 มิลลิเมตร จากระยะ 1 เมตร;  $u(d) = \frac{1}{1000} \times 100 = 0.1$

8. Scale resolution มาจากความละเอียดของค่าที่อ่าน PSL/mm<sup>2</sup> หารด้วย 2 ซึ่งมีค่า 0.01/2  
 $= 0.005; u(scale) = \frac{0.005}{0.5} \times 100 = 1$

ตารางที่ 4 Uncertainty Budget

Source of Uncertainty	Value (%)	Probability distribution	Type	Divisor	Uncertainty (%)
1. Repeatability	0.5	normal	A	1	0.5
2. Background	1	normal	A	1	1
3. Reading	0.5	normal	A	1	0.5
4. Calibration Factor	2	normal	B	1	2
5. Irradiation time	1.7	normal	B	1	1.7
6. Standard output from OB85 at S-D = 6 m	1.9	normal	B	2	0.95
7. Distance	0.1	rectangular	B	$\sqrt{3}$	0.058
8. Scale resolution	1	rectangular	B	$\sqrt{3}$	0.58
Combined Standard Uncertainty = 3.1%					
Expanded Uncertainty = 7%					

การคำนวณหาความไม่แน่นอนมาตรฐานสามารถคำนวณได้จากสมการที่ (6) และ (8) สำหรับการแจกแจงแบบปกติ และการแจกแจงแบบสี่เหลี่ยมผืนผ้าตามลำดับ จากตารางที่ 4 พบว่า แหล่งความไม่แน่นอนลำดับที่ 1 – 5 ซึ่งได้แก่ Repeatability, Background, Reading, Calibration Factor และ Irradiation time ตามลำดับ มีการแจกแจงแบบปกติ ตัวหาร (divisor) มีค่าเท่ากับ 1 สำหรับแหล่งความไม่แน่นอนลำดับที่ 5 ได้แก่ ระดับรังสีจากต้นกำเนิดรังสี <sup>137</sup>Cs ของเครื่องฉายรังสี OB85 ที่ระยะ 6 เมตร มีค่า 1.9 ที่ระดับความเชื่อมั่น 95% ซึ่งค่า k (Coverage factor) จะมีค่าเท่ากับ 2 มีการแจกแจงแบบปกติ divisor มีค่าเท่ากับ 2 สำหรับแหล่งความไม่แน่นอนลำดับที่ 7 และ

8 ได้แก่ Distance และ Scale resolution ตามลำดับ มีลักษณะการแจกแจงแบบสี่เหลี่ยมผืนผ้า ตัวหาร (divisor) มีค่าเท่ากับ  $\sqrt{3}$  ซึ่งสามารถหาความไม่แน่นอนมาตรฐาน ได้จากสมการที่ (6) และ (8) และหาความไม่แน่นอนมาตรฐานรวม (Combined standard uncertainty) ได้จากสมการที่ (9) มีค่าเท่ากับ 3.1% และความไม่แน่นอนขยาย (Expanded uncertainty) มีค่า  $3.1 \times 2 = 6.2\%$  ซึ่งอยู่ระหว่าง 3 – 9 % ดังนั้นการรายงานผลความไม่แน่นอนขยายซึ่งจะเป็นเลข 1 หลัก (NPL, 2003) จึงมีค่าเท่ากับ 7% ที่ระดับความเชื่อมั่น 95%

#### 4. ผลการศึกษาความถูกต้องของการวัดระดับรังสีแกมมา ด้วยระบบวัดแบบอิมเมจิงเพลต

เมื่อนำแผ่นบันทึกภาพที่ผ่านการสอบเทียบวัดอัตราปริมาณรังสี (dose rate) ที่ 962.61 mR/h และ 76.3 mR/h โดยทำการฉายรังสีให้แผ่นบันทึกภาพเป็นเวลา 1 นาที และทำการวัดซ้ำ 5 ครั้ง แล้วนำค่า PSL/mm<sup>2</sup> ที่ได้แก่ค่า C.F. เพื่อคำนวณอัตราปริมาณรังสี (mR/h) เปรียบเทียบค่าที่ได้จากระบบวัดแบบอิมเมจิงเพลต กับระดับรังสีมาตรฐานของ SSDL แสดงดังตารางที่ 5 และตารางผนวกที่ 3

ตารางที่ 5 ผลการวัดระดับรังสีแกมมาอ้างอิงจากต้นกำเนิดรังสี Cs-137 ที่ระยะ 2 เมตร ด้วยระบบวัดแบบอิมเมจิงเพลต โดยฉายรังสี 1 นาที C.F. 0.094 mRPSL<sup>-1</sup>mm<sup>2</sup>

Attenuator	STD (mR/h)	Coordinate	Reading (PSL/mm <sup>2</sup> )	Dose rate (mR/h)	Mean (mR/h)	%CV	%error
Open	962.61	2,2.25*	168.70	1011.88	1013.03	0.12	5.3
			168.68	1011.77			
			168.93	1013.18			
			169.19	1014.65			
			169.02	1013.69			

### ตารางที่ 5 (ต่อ)

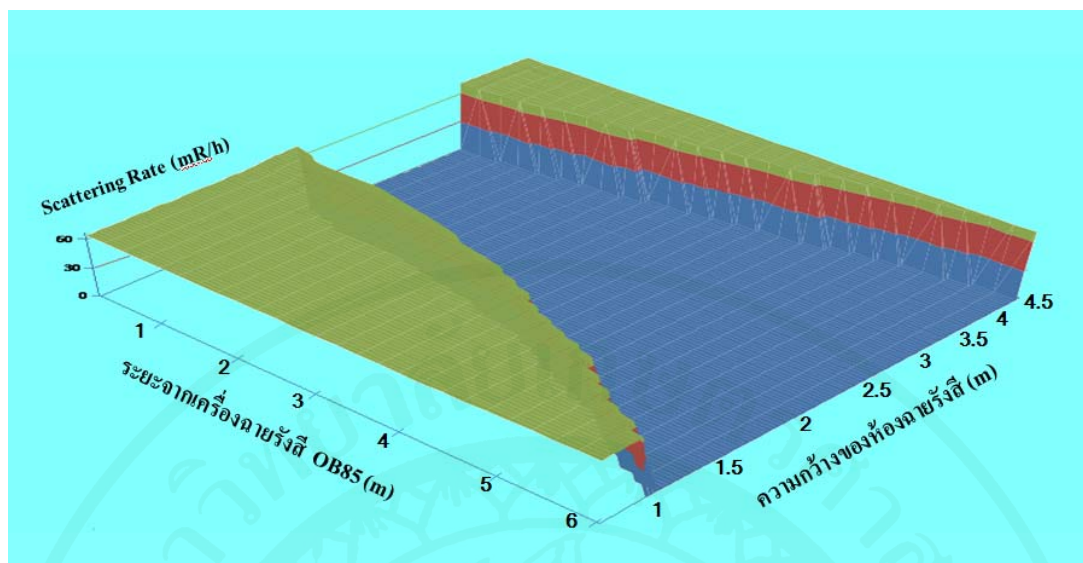
Attenuator	STD (mR/h)	Coordinate	Reading (PSL/mm <sup>2</sup> )	Dose rate (mR/h)	Mean (mR/h)	%CV	%error
A	76.3	2,2.25*	3.98	80.88	81.08	0.25	6.26
			4.01	81.05			
			4.03	81.16			
			4.07	81.39			
			3.99	80.94			

\*2,2.25 หมายถึง พิกัดบนกึ่งกลางแผ่นบันทึกภาพที่ระยะห่างจากเครื่องฉายรังสี OB เป็นระยะทาง 2 เมตร

จากตารางที่ 5 ระบบวัดแบบอิมเมจิงเพลตสามารถใช้วัดระดับรังสีแกมมาที่อัตราปริมาณรังสี (dose rate) 962.61 mR/h และ 76.3 mR/h โดยมีค่า %ความคลาดเคลื่อนประมาณ 5% และ 6% ตามลำดับ ซึ่งเมื่ออัตราปริมาณรังสีสูงขึ้นพบว่า %ความคลาดเคลื่อนจะมีค่าน้อยลง นอกจากนี้ยังพบว่าการใช้ระบบวัดแบบอิมเมจิงเพลตวัดรังสีแกมมาทั้ง 2 ระดับ สามารถให้ผลการวัดที่มีความแม่นยำซึ่งพิจารณาจากค่าสัมประสิทธิ์ความแปรปรวน (%CV) ที่มีค่าน้อยกว่า 0.5%

### 5. การวัดการกระเจิงของระดับรังสีแกมมาอ้างอิง

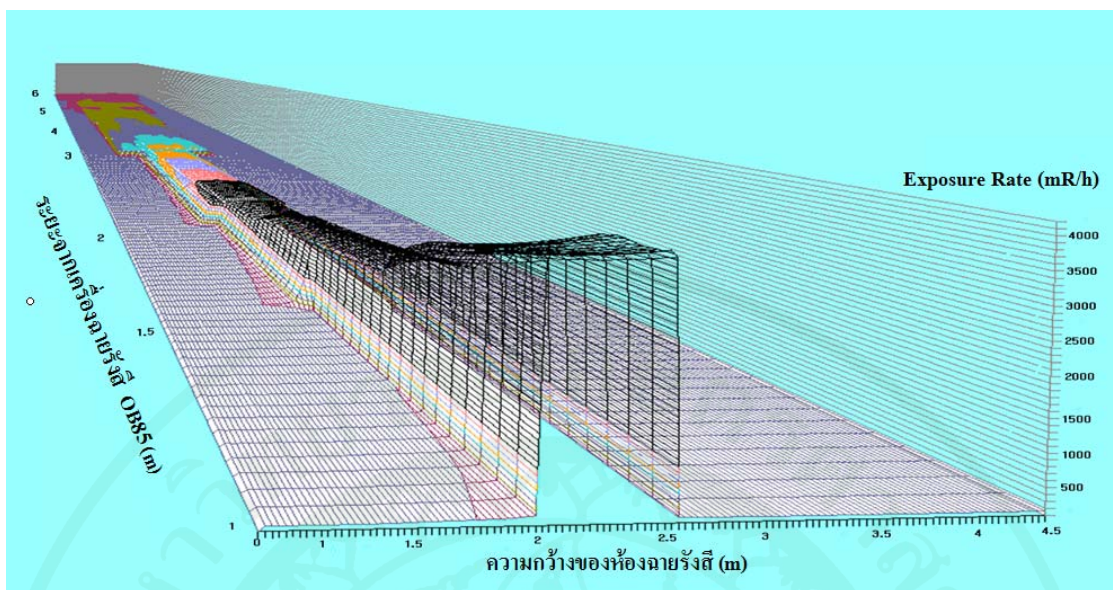
การวัดการกระเจิงของระดับรังสีแกมมาอ้างอิงจากต้นกำเนิดรังสี <sup>137</sup>Cs ของเครื่องฉายรังสี OB85 ภายในห้อง SSDL ก่อนทำการทดลองได้ทำการศึกษาขั้นต้นเพื่อหาระยะแนวลำรังสีที่ระยะ 1 และ 2 เมตร โดยใช้แผ่นบันทึกภาพวัดที่ระยะดังกล่าว เพื่อหาระยะแนวลำรังสี ซึ่งจากการศึกษาดังกล่าวทำให้สามารถกำหนดจุดวัดได้ดังภาพที่ 21 เมื่อวัดการกระเจิงของระดับรังสีแกมมาอ้างอิงทุกตำแหน่งที่กำหนด คำนวณหาระดับการกระเจิงของรังสี (mR/h) จากผลของค่า PSL/mm<sup>2</sup> ที่ได้โดยใช้ค่า C.F. แล้วนำข้อมูลที่ได้มาสร้างแผนภาพ 3 มิติ แสดงระดับการกระเจิงของรังสีภายในห้อง SSDL แสดงดังภาพที่ 25 สำหรับข้อมูลแสดงระดับรังสีกระเจิง ณ จุดต่างๆ ภายในห้อง SSDL และในตารางผนวกที่ 5 และภาพผนวกที่ 1



ภาพที่ 25 ภาพสามมิติแสดงระดับการกระเจิงของรังสีที่ระยะ 1-6 เมตร ซึ่งบริเวณสีเขียวจะเป็นบริเวณที่มีระดับการกระเจิงของรังสี ส่วนบริเวณสีน้ำเงินและแดงเป็นสนามรังสีที่ตัดออกไปแสดงในภาพที่ 26

จากภาพที่ 25 ภายในห้อง SSDL ซึ่งมีขนาดกว้าง 4.5 เมตร ยาว 10 เมตร จะเห็นว่าค่าการกระเจิงของรังสีมีค่าสูงโดยเฉลี่ยเกือบทั่วห้องปฏิบัติการฯ สาเหตุอาจเนื่องมาจากอุปกรณ์จัดวางสำหรับการสอบเทียบเครื่องวัดรังสี รวมทั้งเครื่องกำบังรังสีที่เป็นโลหะ และมีการจัดวางอยู่บริเวณกลางแนวลำรังสี ค่าการกระเจิงที่ระยะห่าง 1 เมตร ถึง 6 เมตร นอกแนวลำรังสีมีค่าประมาณ 63 – 80 mR/h โดยมีค่าความไม่แน่นอนของการวัดขยาย (Expanded Uncertainty) คิดเป็น 7% ที่ระดับความเชื่อมั่น 95% ดังตารางที่ 3

สำหรับระดับการกระเจิงของรังสีแกมมา ระยะ 1 เมตร มีค่าประมาณ 71.56 mR/h จากเครื่องฉายรังสีแกมมา OB85 เทียบกับค่าระดับรังสีของแนวลำรังสีซึ่งมีค่าประมาณ 3880 mR/h พบว่ามีค่าการกระเจิงของรังสีประมาณ 1.8% ซึ่งอยู่ในเกณฑ์ยอมรับตาม ISO 4037 (ISO, 1996)



ภาพที่ 26 สนามรังสีจากเครื่องฉายรังสี OB85 ที่ระยะ 1-6 เมตร ในห้องปฏิบัติการวัดรังสีมาตรฐาน  
ทุติยภูมิ สำหรับ Cs-137

จากภาพที่ 26 แสดงสนามรังสี (Field size) จากเครื่องฉายรังสี OB85 เมื่อคำนวณระยะของ  
ขอบแนวรังสีจะได้สนามรังสีมีค่า 0.40 1.04 1.50 1.90 และ 2.42 เมตร ที่ระยะห่าง 1 2 3 4 และ 5  
เมตร ตามลำดับ ซึ่งสนามรังสีที่ได้มีลักษณะเป็นรูปกรวยจากเครื่องฉายรังสี OB85 ไปตลอดความ  
ยาวของห้องฉายรังสีภายในห้องปฏิบัติการวัดรังสีมาตรฐานทุติยภูมิ

#### 6. การนำระดับรังสีกระเจิงที่ได้จากการทดลองไปใช้งานจริง

จากการใช้มาตรรังสีแบบพกพา รุ่น RAD-60S ซึ่งมีพิสัยในช่วง  $0 \mu\text{Sv} - 99.9 \text{ Sv}$  ที่ผ่านการ  
สอบเทียบ โดยห้อง SSDL ซึ่งมีค่า  $C.F._{PD} = 1.06$  และ  $u_{exp} = 6\%$  ที่ระดับความเชื่อมั่น 95% มาวัด  
ค่าปริมาณรังสีกระเจิงที่  $100 \mu\text{Sv/h}$  พิกัดดังภาพที่ 22 เพื่อตรวจสอบการกระเจิงของระดับรังสีที่ได้  
จากการใช้ระบบวัดแบบอิมเมจิงเพลต และนำระดับรังสีกระเจิงที่ได้จากระบบวัดแบบอิมเมจิง  
เพลตไปใช้เป็นค่าอ้างอิงสำหรับงานสอบเทียบเครื่องสำรวจรังสี และมาตรรังสีแบบพกพา โดยไม่  
จำเป็นต้องจัดวางในสนามรังสีของห้อง SSDL ได้ผลการวัดดังตารางที่ 6 และตารางผนวกที่ 4

ตารางที่ 6 ผลการวัดระดับรังสีกระเจิงที่ปริมาณรังสี 100  $\mu\text{Sv}$  ด้วยมาตรรังสีแบบพกพา (PD) ณ พิกัดต่างๆ โดย  $C.F._{PD} = 1.06$  และ  $u_{exp} = 6\%$  ที่ระดับความเชื่อมั่น 95%

การกระเจิงของระดับรังสี		พิกัด (x,y)*	เวลาฉาย sec	ปริมาณรังสี ( $\mu\text{Sv}$ )		ร้อยละความ คลาดเคลื่อน
mR/h	mSv/h			ที่อ่านได้จากมาตร รังสีแบบพกพา	ที่แก้ค่าด้วย C.F ของ PD	
77.56	0.817	1,1	440	87	92.6	-7.4
97.5	1.027	1,1.7	350	88	93.1	-6.9
70.26	0.740	1,2.8	486	89	93.9	-6.1
65.9	0.694	1,3.5	518	90	95.0	-5.0
73.42	0.774	1.5,1	466	87	92.6	-7.4
67.77	0.714	1.5,3.5	504	88	93.1	-6.9
72.12	0.760	2,1	474	88	93.1	-6.9
67.49	0.711	2,3.5	506	89	94.3	-5.7
72.97	0.769	3,1	468	87	92.4	-7.6
68.96	0.727	3,3.5	496	89	93.9	-6.1
77.04	0.812	4,1	443	87	92.6	-7.4
72.29	0.762	4,3.5	473	89	94.3	-5.7

\* x = ระยะทาง (m) จากต้นกำเนิดรังสี OB85

y = ระยะทาง (m) จากผนังด้านขวาจากต้นกำเนิดรังสี OB85 (ดังภาพที่ 22)

จากตารางที่ 6 มาตรรังสีแบบพกพา รุ่น RAD-60S ที่ผ่านการสอบเทียบจากห้อง SSDL สามารถวัดค่าปริมาณรังสีกระเจิงที่ 100  $\mu\text{Sv}$  จากอัตราการกระเจิงของรังสีที่ได้จากการใช้ระบบวัดแบบอิมเมจิงเพลต ที่พิกัดต่างๆ พบว่าค่าที่อ่านได้จากมาตรรังสีแบบพกพา เมื่อแก้ค่า C.F ของมาตรรังสีแบบพกพา มีค่าเท่ากับ  $C.F._{PD} = 1.06$  เมื่อเปรียบเทียบกับค่าปริมาณรังสีกระเจิงที่ 100  $\mu\text{Sv}$  มีร้อยละความคลาดเคลื่อนประมาณ 5 – 8%

เมื่อพิจารณาจากความไม่แน่นอนแบบขยายของการวัดของระบบวัดแบบอิมเมจิงเพลตซึ่งมีค่า 7% ที่ระดับความเชื่อมั่น 95% และความไม่แน่นอนแบบขยายของมาตรรังสีแบบพกพาที่ผ่านการสอบเทียบจากห้อง SSDL มีค่า 6% ที่ระดับความเชื่อมั่น 95% ซึ่งจากการนำมาตรรังสีแบบพกพาวัดค่าปริมาณรังสีกระเจิง  $100 \mu\text{Sv}$  พบว่ามีร้อยละความคลาดเคลื่อน 5 – 8% อยู่ในช่วงความไม่แน่นอนของการวัดของระบบวัดแบบอิมเมจิงเพลตและมาตรรังสีแบบพกพา ซึ่งสามารถสรุปได้ว่าการวัดระดับการกระเจิงของรังสีแกมมาในห้อง SSDL ด้วยระบบวัดแบบอิมเมจิงเพลตสามารถนำผลการวัดที่ได้มาใช้เป็นค่าระดับรังสีแกมมาอ้างอิงในห้องฉายรังสี สำหรับใช้เพื่อการสอบเทียบเครื่องสำรวจรังสีและมาตรรังสีแบบพกพา ซึ่งเป็นการสนับสนุนการป้องกันอันตรายจากรังสีตามภารกิจหลักของสำนักงานปรมาณูเพื่อสันติ

## สรุปและข้อเสนอแนะ

### สรุป

ในการวัดค่าการกระเจิงของระดับรังสีแกมมาจากเครื่องฉายรังสี OB85 ในห้องปฏิบัติการวัดรังสีมาตรฐานทุติยภูมิ ด้วยระบบวัดอิมเมจิงเพลต สรุปผลการทดลองได้ดังนี้

1. ระบบวัดแบบอิมเมจิงเพลต มีความคงที่สูง โดยมีความสามารถวัดซ้ำได้ดี (Repeatability) เมื่อควบคุมการฉายและระยะเวลาที่ใช้ในแต่ละขั้นตอน ก่อนการนำไปอ่านผล โดยค่าที่วัดได้คิดเป็น PSL/mm<sup>2</sup> ที่พิกัดต่างๆ มีความไม่แน่นอนของการวัดสัมพัทธ์ประมาณ  $\pm 0.5\%$  เทียบกับค่า PSL/mm<sup>2</sup> เฉลี่ย สำหรับแต่ละพิกัด

2. แผ่นบันทึกภาพ BAS-MS2040 มีการตอบสนองต่อปริมาณรังสี หรือมีค่า Calibration Factor (C.F.) เท่ากับ  $0.094 \text{ mR PSL}^{-1} \text{ mm}^2$  สำหรับ Cs-137

3. ผลการวัดระดับการกระเจิงภายในห้องปฏิบัติการวัดรังสีมาตรฐานทุติยภูมิ (SSDL) ซึ่งมีขนาดกว้าง 4.5 เมตร ยาว 10 เมตร ที่ระยะ 1-6 เมตรนอกแนวรังสี มีค่าประมาณ 63 – 80 mR/h โดยมีค่าความไม่แน่นอนของการวัดขยาย (Expanded Uncertainty) คิดเป็น 7% ที่ระดับความเชื่อมั่น 95% และมีระดับการกระเจิงของรังสีแกมมา ที่ระยะ 1 เมตร จากเครื่องฉายรังสีแกมมา OB85 เทียบกับค่าระดับรังสีของแนวลำรังสี ประมาณ 1.8% ซึ่งอยู่ในเกณฑ์ยอมรับตาม ISO 4037 ซึ่งกำหนดให้มีค่าการกระเจิงไม่เกิน 5% อีกทั้งยังพิสูจน์ว่าระดับการกระเจิงของรังสีแกมมาภายในห้องปฏิบัติการฯ เป็นไปตามข้อกำหนด นับเป็นการสนับสนุนการป้องกันอันตรายจากรังสี ตามภารกิจหลักของสำนักงานปรมาณูเพื่อสันติ

4. สนามรังสี (Field size) จากเครื่องฉายรังสี OB85 ที่ระยะ 1-6 เมตร ในห้องปฏิบัติการวัดรังสีมาตรฐานทุติยภูมิ สำหรับ Cs-137 เมื่อคำนวณระยะของขอบแนวรังสีจะได้สนามรังสีมีลักษณะเป็นรูปกรวยมีความกว้าง 0.40 1.04 1.50 1.90 และ 2.42 เมตร ที่ระยะห่าง 1 2 3 4 และ 5 เมตร ตามลำดับ

5. ระดับรังสีการกระเจิงที่วัดได้โดยใช้ระบบวัดแบบอิมเมจิงเพลตนั้นสามารถนำไปใช้เป็นค่าอ้างอิงในการสอบเทียบสำหรับงานสอบเทียบเครื่องสำรวจระดับรังสี และมาตรรังสีแบบพกพา นอกจากแนวตั้งรังสีหลัก โดยไม่จำเป็นต้องจัดวางในสนามรังสีของห้องปฏิบัติการมาตรฐานทุติยภูมิ

6. ระบบการวัดแบบอิมเมจิงเพลต นอกจากจะสามารถตรวจวัดภาพถ่ายของรังสี โดยแสดงเป็นภาพ 2 มิติแล้ว ยังสามารถแสดงปริมาณ หรือความเข้มของรังสีในแต่ละจุดได้อีกด้วย

### ข้อเสนอแนะ

เนื่องจากภายในห้อง SSDL มีเครื่องฉายรังสี 3 เครื่องที่บรรจุวัสดุกัมมันตรังสีหลายชนิดคือ  $^{137}\text{Cs}$   $^{60}\text{Co}$  และ  $^{241}\text{Am-Be}$  ซึ่งวัสดุกัมมันตรังสีแต่ละชนิดมีพลังงานไม่เท่ากัน ดังนั้นควรพิสูจน์เกี่ยวกับ spectrum ของโฟตอน เพื่อให้ทราบว่า การกระเจิงของรังสีภายในห้อง SSDL มีรังสีอื่นๆ จากวัสดุกัมมันตรังสีชนิดอื่นมาปนด้วยหรือไม่

การกระเจิงของรังสีแกมมาจากต้นกำเนิดรังสี  $^{137}\text{Cs}$  ของเครื่องฉายรังสี OB85 ที่ได้ภายในห้อง SSDL ควรพิสูจน์เกี่ยวกับ spectrum ของการกระเจิง เพื่อดูว่ามีค่าพลังงานเท่ากับ 661.65 keV หรือแตกต่างกันน้อยเพียงใด เพื่อนำไปใช้ประโยชน์ในการสอบเทียบ Film badge หรือ TLD ได้ต่อไป

## เอกสารและสิ่งอ้างอิง

- ธิดารัตน์ วิชัยดิษฐ. 2546. เรื่องการวัดค่าตัวประกอบการสอบเทียบของระบบอิมเมจิงเพลต, ปัญหาพิเศษ ระดับปริญญาโท, มหาวิทยาลัยเกษตรศาสตร์.
- สมาคมนิวเคลียร์แห่งประเทศไทย. 2551. อิมเมจิงเพลต (Imaging Plate). แหล่งที่มา: <http://www.nst.or.th/article/article143/article1439.htm>, มีนาคม 2552.
- สำนักงานปรมาณูเพื่อสันติ กระทรวงวิทยาศาสตร์และเทคโนโลยี. 2546. การป้องกันอันตรายจากรังสี ระดับ 2. สำนักงานปรมาณูเพื่อสันติ กระทรวงวิทยาศาสตร์และเทคโนโลยี. กรุงเทพฯ.
- อำไพ สุขบำเพ็ญ. 2548. การตรวจสอบท่หุ้มฉนวนความร้อนโดยใช้เทคนิคคอมพิวเตอร์กราฟิ. วิทยานิพนธ์ปริญญาโท, จุฬาลงกรณ์มหาวิทยาลัย.
- Boukhaira, A., C. Heilmanna, A. Nourreddinea, A. Papea and G. Portalc. 2001. Fast neutron and  $\gamma$ -ray dosimetrywith imaging plates. **Radiation Measurements**. 34, 513–516.
- Curry, T.S., J.E. Dowdey and R.C. Murry. 1990. **Christensen’s Physics of Diagnostic Radiology**. 4th ed. Lippincott Williams & Wilkins. Philadelphia.
- Fujifilm. 1995. **Bio-Imaging Analyzer BAS-2500 Operation Manual**. First edition.
- Glenn, F.K. 1989. **Radiation Detection And Measurement**. Applied Radiation and Isotope. 730: 287-326
- IAEA ( International Atomic Energy Agency). 1999. **SSDL Network Charter: The IAEA/WHO Network of Secondary Standard Dosimetry Laboratories**. Vienna.

IAEA (International Atomic Energy Agency). 2000. **Calibration of Radiation Protection Monitoring Instruments**. Safety Report Series No.16. Vienna.

IAEA (International Atomic Energy Agency). 2008. **Measurement Uncertainty. A Practical for Secondary Standard Dosimetry Laboratories**. IAEA-TECDOC-1585. Vienna.

IAEA (International Atomic Energy Agency). 2009. **Calibration of Dosimeter Used in Radiotherapy**. Technical Report Series No.374. Vienna.

IAEA (International Atomic Energy Agency). 2009. **Calibration of Reference Dosimeter for External Beam Radiotherapy**. Technical Report Series No.469. Vienna.

ISO (International Organization for Standardization). 1996. **ISO 4037-1, X and gamma reference radiation for calibration dosemeters and dose rate meters and for determining their response as a function of photon energy – Part 1: Radiation characteristics and production methods**. First edition. Switzerland.

JCGM (Joint Committee for Guides in Metrology). 2008. **Guide to the expression of uncertainty in measurement (GUM)**. BIPM.

JCGM (Joint Committee for Guides in Metrology). 2008. **International Vocabulary of Basic and General Terms in Metrology – Basic and general concepts and associated terms (VIM)**. BIPM.

Miyahara, J. 1987. Digital radiography – imaging plate and its application. **Measurement Control**. 26, 7-14.

Mori, K. and K. Hama, 1994. Image analysis system – IP autoradiography system (BAS). **Protein Nucleic Acid Enzyme**. 39, 1877-87.

Mouhssine, D., A. Nourreddine, A. Nachab, F. Fernandez, C. Domngo, H. Muller, K. Amgarou, A. Pape, and D. Raiser. 2004. Calibration factor for estimating personal dose equivalent with imaging plates. **Radiation Measurements**. 40, 612-615.

National Physical Laboratory (NPL). 2003. **Measurement Good Practice Guide No.49: The Assessment of Uncertainty in Radiological Calibration and Testing**.

Pimpl, M. 2007. **Progress and Quality Management in Radiostrontium Analysis**. IAEA Regional Training Course on Analytical Methods and Quality Management in Marine Environment Radioactivity Studies.

Saze, T. and K. Nishizawa, 2003. A Method for determining the region of an image obtained with an imaging plate. **Nuclear Instruments & Methods in Physics Research**. A517, 381 - 388.

Yamadera, A., E. Kim, T. Miyata and T. Nakamura. 1995. Development of high sensitivity x- and  $\gamma$ -ray personal dosimeter using photostimulated luminescent detector. **Applied Radiation Isotopes**. 46, 467-468.



ภาคผนวก

**ตารางผนวกที่ 1** ผลการศึกษาปัจจัยเรื่องระยะเวลาในการลบแผ่นบันทึกภาพ และระยะเวลาในการวางแผ่นบันทึกภาพเพื่อวัดระดับรังสีพื้นหลัง และระดับรังสีในห้องฉายรังสีที่ระยะ 5 เมตร

เวลาฉาย	Coordinate (x,y)*	PSL/mm <sup>2</sup> ในห้องฉายรังสี				PSL/mm <sup>2</sup> ของรังสีพื้นหลัง			
		ลบ 5 นาที		ลบ 10 นาที		ลบ 5 นาที		ลบ 10 นาที	
		Mean	%CV	Mean	%CV	Mean	%CV	Mean	%CV
1	5,2.07	32.33	1.83	31.56	0.75	0.21	5.41	0.15	3.94
	5,2.09	32.25	1.97	31.15	0.72	0.21	4.76	0.14	4.03
	5,2.11	32.29	1.97	31.13	0.76	0.20	5.87	0.15	3.94
	5,2.13	32.28	1.85	31.18	0.59	0.19	5.26	0.14	4.22
	5,2.15	32.32	1.89	31.06	0.62	0.20	5.00	0.14	4.22
	5,2.17	32.34	1.88	31.18	0.81	0.20	5.68	0.14	4.03
	5,2.19	32.30	1.91	31.26	0.56	0.20	5.00	0.14	4.03
	5,2.21	32.37	1.88	31.28	0.65	0.20	5.68	0.14	4.03
	5,2.23	32.29	1.95	31.30	0.65	0.21	5.59	0.14	4.03
	5,2.25	32.38	1.86	31.44	0.56	0.20	5.00	0.15	3.94
	5,2.27	32.34	1.90	31.36	0.69	0.20	5.00	0.15	3.94
	5,2.29	32.28	1.86	31.25	0.60	0.20	5.00	0.14	4.03

ตารางผนวกที่ 1 (ต่อ)

เวลาฉาย	Coordinate (x,y)*	PSL/mm <sup>2</sup> ในห้องฉายรังสี				PSL/mm <sup>2</sup> ของรังสีพื้นหลัง			
		ลบ 5 นาที		ลบ 10 นาที		ลบ 5 นาที		ลบ 10 นาที	
		Mean	%CV	Mean	%CV	Mean	%CV	Mean	%CV
1	5,2.31	32.17	1.95	31.34	0.68	0.20	5.87	0.14	4.03
	5,2.33	32.29	1.98	31.09	0.60	0.20	5.87	0.14	4.03
	5,2.35	32.22	1.81	31.11	0.52	0.20	5.00	0.14	4.03
	5,2.37	32.24	1.96	31.11	0.60	0.20	5.68	0.14	4.03
	5,2.39	32.24	1.97	31.44	0.73	0.21	4.76	0.15	3.94
	5,2.41	32.31	1.90	31.07	0.58	0.21	5.59	0.15	3.94
	5,2.43	32.19	1.89	31.27	0.62	0.22	5.17	0.15	3.94
	5,2.45	32.21	1.88	31.01	0.76	0.20	5.68	0.14	4.03
5	5,2.07	158.40	1.96	151.74	0.71	0.99	5.34	0.83	4.34
	5,2.09	158.51	1.99	152.29	0.73	0.96	5.51	0.86	4.72
	5,2.11	158.96	1.98	152.42	0.75	0.95	5.78	0.85	4.77
	5,2.13	158.12	1.90	151.98	0.66	0.94	5.88	0.83	4.21
	5,2.15	158.13	1.87	151.94	0.70	0.95	5.26	0.84	4.94

ตารางผนวกที่ 1 (ต่อ)

เวลาฉาย	Coordinate (x,y)*	PSL/mm <sup>2</sup> ในห้องฉายรังสี				PSL/mm <sup>2</sup> ของรังสีพื้นหลัง			
		ลบ 5 นาที		ลบ 10 นาที		ลบ 5 นาที		ลบ 10 นาที	
		Mean	%CV	Mean	%CV	Mean	%CV	Mean	%CV
5	5,2.17	158.48	1.93	152.04	0.65	0.95	5.26	0.86	4.42
	5,2.19	158.56	1.91	152.61	0.77	0.95	4.99	0.85	4.71
	5,2.21	158.54	1.89	152.56	0.84	0.93	6.54	0.85	4.24
	5,2.23	159.28	1.88	152.33	0.71	0.96	6.30	0.87	4.37
	5,2.25	159.53	1.87	152.30	0.63	0.95	5.78	0.85	4.12
	5,2.27	158.95	1.98	152.30	0.68	0.98	7.70	0.86	4.19
	5,2.29	158.50	1.90	151.94	0.64	0.96	6.83	0.83	4.58
	5,2.31	158.46	1.92	152.27	0.72	0.95	8.80	0.86	4.19
	5,2.33	158.43	1.93	152.25	0.69	0.95	5.57	0.85	4.88
	5,2.35	158.83	1.88	151.77	0.68	0.93	5.69	0.85	4.24
	5,2.37	158.62	1.85	152.37	0.72	0.94	5.34	0.85	4.77
	5,2.39	158.92	1.94	151.76	0.67	0.94	5.88	0.84	4.20
	5,2.41	158.97	1.94	152.23	0.70	0.95	6.32	0.83	4.58

ตารางผนวกที่ 1 (ต่อ)

เวลาฉาย	Coordinate (x,y)*	PSL/mm <sup>2</sup> ในห้องฉายรังสี				PSL/mm <sup>2</sup> ของรังสีพื้นหลัง			
		ลบ 5 นาที		ลบ 10 นาที		ลบ 5 นาที		ลบ 10 นาที	
		Mean	%CV	Mean	%CV	Mean	%CV	Mean	%CV
5	5,2.43	158.80	1.87	152.32	0.74	0.98	6.00	0.84	4.29
	5,2.45	158.57	1.85	151.99	0.89	0.98	6.69	0.85	4.77

\* x = ระยะทาง (m) จากต้นกำเนิดรังสี OB85

y = ระยะทาง (m) จากผนังด้านขวาจากต้นกำเนิดรังสี OB85 (ดังภาพที่ 21)

**ตารางผนวกที่ 2** การสอบเทียบระบบวัดแบบอิมเมจิงเพลต

Coordinate	STD. Dose rate mR/h	Irradiation time min	Dose mR	Reading PSL/mm <sup>2</sup>
2,2.25*	967.49	1	16.12	156.57
		2	32.25	335.67
		3	48.37	501.13
		4	64.50	688.27
		5	80.62	835.63

\*2,2.25 หมายถึง พิกัดบนกึ่งกลางแผ่นบันทึกภาพที่ระยะห่างจากเครื่องฉายรังสี OB เป็นระยะทาง 2 เมตร

**ตารางผนวกที่ 3** ผลการวัดระดับรังสีแกมมาอ้างอิงจากต้นกำเนิดรังสี Cs-137 ที่ระยะ 2 เมตร ด้วยระบบวัดแบบอิมเมจิงเพลต โดยฉายรังสี 1 นาที C.F. 0.094 mRPSL<sup>-1</sup>mm<sup>2</sup>

Attenuator	STD mR/h	Coordinate (x,y)*	Reading (PSL/mm <sup>2</sup> ; mean, n=5)	Dose rate mR/h	%error
Open	962.61	2,2.07	168.63	1011.48	5.08
		2,2.09	169.58	1016.85	5.63
		2,2.11	169.58	1016.85	5.63
		2,2.13	169.58	1016.85	5.63
		2,2.15	169.52	1016.51	5.60
		2,2.17	170.18	1020.24	5.99
		2,2.19	169.72	1017.64	5.72
		2,2.21	169.28	1015.16	5.46
		2,2.23	169.84	1018.32	5.79
		2,2.25	168.90	1013.01	5.24
2,2.27	169.43	1016.00	5.55		

## ตารางผนวกที่ 3 (ต่อ)

Attenuator	STD mR/h	Coordinate (x,y)*	Reading (PSL/mm <sup>2</sup> ; mean, n=5)	Dose rate mR/h	%error
Open	962.61	2,2.29	170.08	1019.68	5.93
		2,2.31	169.85	1018.38	5.79
		2,2.33	169.47	1016.23	5.57
		2,2.35	169.63	1017.13	5.66
		2,2.37	169.33	1015.44	5.49
		2,2.39	169.86	1018.43	5.80
		2,2.41	170.00	1019.23	5.88
		2,2.43	169.56	1016.74	5.62
		2,2.45	168.83	1012.61	5.19
A	76.3	2,2.07	4.07	81.39	6.67
		2,2.09	4.11	81.62	6.97
		2,2.11	4.05	81.28	6.52
		2,2.13	4.11	81.62	6.97
		2,2.15	4.00	80.99	6.15
		2,2.17	4.11	81.62	6.97
		2,2.19	4.07	81.39	6.67
		2,2.21	4.09	81.50	6.82
		2,2.23	4.06	81.33	6.60
		2,2.25	4.02	81.11	6.30
		2,2.27	4.07	81.39	6.67
		2,2.29	4.04	81.22	6.45
		2,2.31	3.98	80.88	6.00
		2,2.33	4.07	81.39	6.67
		2,2.35	4.07	81.39	6.67
2,2.37	4.11	81.62	6.97		

### ตารางผนวกที่ 3 (ต่อ)

Attenuator	STD mR/h	Coordinate (x,y)*	Reading (PSL/mm <sup>2</sup> ; mean, n=5)	Dose rate mR/h	%error
A	76.3	2,2.39	4.04	81.22	6.45
		2,2.41	4.02	81.11	6.30
		2,2.43	3.98	80.88	6.00
		2,2.45	4.02	81.11	6.30

\* x = ระยะทาง (m) จากต้นกำเนิดรังสี OB85

y = ระยะทาง (m) จากผนังด้านขวาจากต้นกำเนิดรังสี OB85 (ดังภาพที่ 21)

### ตารางผนวกที่ 4 ผลการวัดระดับรังสีกระเจิงที่ปริมาณรังสี 100 $\mu$ Sv ด้วยมาตรรังสีแบบพกพา (PD)

ณ พิกัดต่างๆ โดย C.F. <sub>PD</sub> = 1.06 และ  $u_{exp}$  = 6% ที่ระดับความเชื่อมั่น 95%

การกระเจิงของ ระดับรังสี		พิกัด	เวลาฉาย	ค่าที่อ่านได้จากมาตรรังสีแบบพกพา ( $\mu$ Sv)					
mR/h	mSv/h	(x,y)*	sec	ครั้งที่ 1	ครั้งที่ 2	ครั้งที่ 3	ครั้งที่ 4	ครั้งที่ 5	mean
77.56	0.817	1,1	440	89	88	86	87	87	87
97.5	1.027	1,1.7	350	89	87	88	87	88	88
70.26	0.740	1,2.8	486	88	87	89	90	89	89
65.9	0.694	1,3.5	518	89	91	90	89	89	90
73.42	0.774	1.5,1	466	88	89	87	86	87	87
67.77	0.714	1.5,3.5	504	89	87	88	87	88	88
72.12	0.760	2,1	474	88	88	87	89	87	88
67.49	0.711	2,3.5	506	90	89	88	90	88	89
72.97	0.769	3,1	468	88	87	86	87	88	87

ตารางผนวกที่ 4 (ต่อ)

การกระเจิงของ ระดับรังสี		พิกัด	เวลาฉาย	ค่าที่อ่านได้จากมาตรรังสีแบบพกพา ( $\mu\text{Sv}$ )					
mR/h	mSv/h	(x,y)*	sec	ครั้งที่ 1	ครั้งที่ 2	ครั้งที่ 3	ครั้งที่ 4	ครั้งที่ 5	mean
68.96	0.727	3,3.5	496	89	90	89	87	88	89
77.04	0.812	4,1	443	88	88	87	88	86	87
72.29	0.762	4,3.5	473	90	89	88	88	90	89

\* x = ระยะทาง (m) จากต้นกำเนิดรังสี OB85

y = ระยะทาง (m) จากผนังด้านขวาจากต้นกำเนิดรังสี OB85 (ดังภาพที่ 22)

ตารางผนวกที่ 5 ระดับการกระเจิงของรังสีแกมมาภายในห้องฉายรังสี ณ พิกัดต่างๆ ด้วยระบบวัดแบบอิมเมจิงเพลต โดยฉายรังสี 1 นาที C.F.  $0.094 \text{ mRPSL}^{-1} \text{ mm}^2$

coordinate		Reading	Dose	Dose rate	
x*	y**	PSL/ $\text{mm}^2$	mR	mR/h	mSv/h
1	4.5	1.10	1.077	64.60	0.685
1.5	4.5	1.11	1.078	64.66	0.685
2	4.5	1.10	1.077	64.60	0.685
2.5	4.5	1.59	1.123	67.37	0.714
3	4.5	0.97	1.064	63.87	0.677
3.5	4.5	1.52	1.116	66.98	0.710
4	4.5	1.38	1.103	66.19	0.702
4.5	4.5	1.74	1.137	68.22	0.723
5	4.5	1.90	1.152	69.12	0.733
5.5	4.5	2.03	1.164	69.86	0.741
6	4.5	2.18	1.178	70.71	0.749

ตารางผนวกที่ 5 (ต่อ)

coordinate		Reading	Dose	Dose rate	
x*	y**	PSL/mm <sup>2</sup>	mR	mR/h	mSv/h
1	1	2.33	1.193	71.56	0.758
1	1.7	2.36	1.195	71.72	0.760
1	2.25	683.47	65.356	3921.36	41.566
1	2.8	2.10	1.171	70.26	0.745
1	3.5	2.38	1.197	71.84	0.761
1.5	1	2.66	1.224	73.42	0.778
1.5	1.7	8.39	1.763	105.81	1.122
1.5	2.8	2.75	1.232	73.93	0.784
1.5	3.5	2.80	1.237	74.21	0.787
2	1	2.43	1.202	72.12	0.764
2	1.7	15.00	2.386	143.17	1.518
2	2.25	177.69	17.711	1062.69	11.265
2	2.8	2.46	1.205	72.29	0.766
2	3.5	2.42	1.201	72.06	0.764
2.5	1	3.05	1.260	75.62	0.802
2.5	3.5	1.91	1.153	69.18	0.733
3	1	2.58	1.216	72.97	0.773
3	1.7	67.88	7.367	442.04	4.686
3	2.25	79.78	8.488	509.30	5.399
3	2.8	78.70	8.387	503.20	5.334
3	3.5	1.87	1.149	68.96	0.731
3.5	1	3.62	1.314	78.85	0.836
3.5	3.5	2.50	1.209	72.52	0.769
4	1	3.30	1.284	77.04	0.817
4	1.7	41.36	4.869	292.15	3.097

ตารางผนวกที่ 5 (ต่อ)

coordinate		Reading PSL/mm <sup>2</sup>	Dose mR	Dose rate	
x*	y**			mR/h	mSv/h
4	2.25	45.78	5.286	317.13	3.362
4	2.8	40.24	4.764	285.82	3.030
4	3.5	2.46	1.205	72.29	0.766
5	1	13.21	2.217	133.05	1.410
5	2.25	29.39	3.742	224.50	2.380
5	3.5	5.34	1.476	88.57	0.939
6	1	19.22	2.784	167.02	1.770
6	2.25	20.58	2.912	174.70	1.852
6	3.5	19.53	2.813	168.77	1.789

\* x = ระยะทาง (m) จากต้นกำเนิดรังสี OB85

\*\* y = ระยะทาง (m) จากผนังด้านขวาจากต้นกำเนิดรังสี OB85 (ดังภาพที่ 21)



ภาพผนวกที่ 1 แผนภาพระดับรังสี (mR/h) ภายในห้อง SS DL

## ประวัติการศึกษาและการทำงาน

ชื่อ –นามสกุล	นางสาวอังศุมาลิน อินแดง
วัน เดือน ปี ที่เกิด	วันที่ 12 พฤษภาคม 2520
สถานที่เกิด	อำเภอเมือง จังหวัดพิษณุโลก
ประวัติการศึกษา	วทบ.ฟิสิกส์
ตำแหน่งหน้าที่การงานปัจจุบัน	นักฟิสิกส์รังสี ปฏิบัติการ
สถานที่ทำงานปัจจุบัน	กลุ่มมาตรฐานการวัดรังสีและกัมมันตภาพรังสี สำนักสนับสนุนการกำกับดูแลความปลอดภัยจาก พลังงานปรมาณู สำนักงานปรมาณูเพื่อสันติ
ผลงานดีเด่นและรางวัลทางวิชาการ	งานวิจัยการวัดและประเมินค่าการกระเจิงของระดับรังสี แกมมาอ้างอิงในห้องปฏิบัติการวัดรังสีมาตรฐานทุติยภูมิ (SSDL) ด้วยระบบวัดแบบอิมเมจิงเพลตงานวิจัยการวัด และประเมินค่าการกระเจิงของระดับรังสีแกมมาอ้างอิงใน ห้องปฏิบัติการวัดรังสีมาตรฐานทุติยภูมิ (SSDL) ด้วย ระบบวัดแบบอิมเมจิงเพลต
ทุนการศึกษาที่ได้รับ	ทุนภายใต้โครงการความร่วมมือในการผลิตนักวิจัยและ พัฒนาด้านวิทยาศาสตร์และเทคโนโลยี กระทรวงวิทยาศาสตร์และเทคโนโลยี